

**SINTESIS DAN KARAKTERISASI HIDROKSIAPATIT DARI LIMBAH TULANG
IKAN TUNA (*Thunnus albacores*) DENGAN METODE HIDROTERMAL**



Skripsi

Diajukan untuk Memenuhi Salah Satu Syarat Meraih Gelar Sarjana
Sains Jurusan Kimia Pada Fakultas Sains dan Teknologi
UIN Alauddin Makassar

Oleh:

HARDIYANTI
60500112003

**FAKULTAS SAINS DAN TEKNOLOGI
UIN ALAUDDIN MAKASSAR
2016**

PERNYATAAN KEASLIAN SKRIPSI

Mahasiswa yang bertanda tangan di bawah ini:

Nama : Hardiyanti
NIM : 60500112003
Tempat/Tanggal Lahir : Jakarta, 19 Juni 1994
Jurusan/Prodi : Kimia
Alamat : Jln. Andi tonro Raya No. 36, Makassar
Judul : Sintesis dan Karakterisasi Hidroksiapatit dari Tulang Ikan Tuna
(*Thunnus albacores*) dengan Metode Hidrotermal

Menyatakan dengan sesungguhnya dan penuh kesadaran bahwa skripsi ini benar adalah hasil karya sendiri. Jika di kemudian hari terbukti bahwa ia merupakan duplikat, tiruan, plagiat, atau dibuat oleh orang lain, sebagian atau seluruhnya, maka skripsi dan gelar yang diperoleh karenanya batal demi hukum.

Makassar, Desember 2016

Penyusun,

HARDIYANTI
NIM: 60500112003

PENGESAHAN SKRIPSI

Skripsi yang berjudul “**Sintesis dan Karakterisasi Hisroksiapatit dari Tulang Ikan Tuna (*Thunnus albacores*) dengan Metode Hidrotermal**” yang disusun oleh **Hardiyanti, NIM : 60500112003** mahasiswa jurusan Kimia pada Fakultas Sains dan Teknologi UIN Alauddin Makassar, telah diuji dan dipertahankan dalam sidang munaqasyah yang diselenggarakan pada hari senin 31 Oktober 2016 bertepatan 30 Muharram 1438 H, dinyatakan telah dapat diterima sebagai salah satu syarat untuk memperoleh gelar sarjana dalam Ilmu Kimia, jurusan Kimia (dengan beberapa perbaikan).

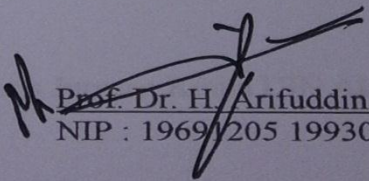
Samata-Gowa, 29 November 2016

29 Zulkaidah 1438 H

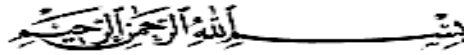
DEWAN PENGUJI :

Ketua	: Dr.Ir.A.Suarda,M.Si	(.....)
Sekretaris	: Syamsidar,HS., S.T.,M.Si	(.....)
Munaqisy I	: Sjamsiah, S.Si., M.Si., Ph.D	(.....)
Munaqisy II	: Aisyah, S.Si., M.Si	(.....)
Munaqisy III	: Dr. Muhsin Mahfudz, M.Th.I	(.....)
Pembimbing I	: Dra. St. Chadijah., M.Si	(.....)
Pembimbing II	: Wa Ode Rustiah, S.Si., M.Si	(.....)

Diketahui oleh :
Dekan Fakultas Sains dan Teknologi
UIN Alauddin Makassar


Prof. Dr. H. Arifuddin, M.Ag
NIP : 1969/205 199303 1 001

KATA PENGANTAR



Assalamualaikum Warahmatullahi Wabarakatuh

Syukur alhamdulillah penulis panjatkan kehadiran Allah SWT. atas segala rahmat dan hidayah-Nya yang telah diberikan sehingga skripsi yang berjudul “**Sintesis Hidroksiapatit dari Tulang Ikan Tuna (*Thunnus albacores*) dengan Metode Hidrotermal**” ini dapat terselesaikan dengan baik, tak lupa pula salam dan salawat saya kirimkan untuk baginda Rasulullah SWA.

Pada kesempatan ini penulis mengucapkan terima kasih yang tak terhingga kepada kedua orang tua tercinta, ayahanda Syarifuddin dan ibunda Indo Tang yang tiada hentihentinya mendoakan dan mencurahkan kasih sayangnya, yang selalu memberikan nasehat, kritik, semangat dan motivasi serta saudara-saudaraku Hardiansyah dan Hadiyusuf terima kasih untuk dukungannya, sehingga skripsi ini dapat selesai pada waktunya.

Penulis juga tak lupa menyampaikan terima kasih yang sebesar-besarnya kepada :

1. Prof. Dr. Musafir Pababbari M.Si, selaku Rektor Universitas Islam Negeri Alauddin Makassar
2. Bapak Prof. Dr. Arifuddin, M.Ag, selaku Dekan Fakultas Sains dan Teknologi UIN Alauddin Makassar.
3. Ibu Sjamsiah S.Si., M.Si., Ph.D, selaku Ketua Jurusan Kimia UIN Alauddin Makassar.
4. Ibu Aisyah S.Si., M.Si, selaku Seketaris Jurusan Kimia UIN Alauddin Makassar.
5. Ibu Dra. ST. Chadijah, M.Si selaku Pembimbing I dan Ibu Wa Ode Rustiah, S.Si., M.Si selaku Pembimbing II yang berkenan meluangkan waktu dan tenaga untuk

membimbing dan memberi saran dari awal penelitian hingga akhir penyusunan skripsi ini

6. Ibu Sjamsiah S.Si., M.Si., Ph.D, selaku penguji I, Ibu Aisyah S.Si., M.Si, selaku penguji II dan Bapak Dr. Muhsin Mahfud, M.Ag selaku penguji III yang berkenan memberi kritik dan saran guna menyempurnakan skripsi ini
7. Segenap dosen dan para laboran Jurusan Kimia Fakultas Sains dan Teknologi Universitas Islam Negeri Alauddin Makassar yang telah membantu dan memberikan ilmu kepada penulis
8. Musyawirah Baharuddin selaku Staf Jurusan Kimia dan seluruh staf karyawan Fakultas Sains dan Teknologi UIN Alauddin Makassar yang telah membantu dalam persuratan.
9. Teman seperjuangan (Kimia angkatan 2012) dan teman setia Nurdiniah, Uhsnul Fatimah, Ria Rukmana, Winda Wiqradhani dan terkhusus partner penelitian yang selalu berbagi susah dan duka bersama Mutmainnah dan Muliati. Dan kepada Aan Fausan Salam yang selalu membantu dan memberi semangat.

Penulis menyadari bahwa skripsi ini masih banyak kekurangan dan kelemahan. Namun semoga skripsi ini dapat bermanfaat sebagai tambahan referensi ilmu pengetahuan. Amin.

Makassar, November 2016

Penyusun

DAFTAR ISI

JUDUL	i
PERNYATAAN KEASLIAN SKRIPSI	ii
KATA PENGANTAR.....	iii
DAFTAR ISI	v
DAFTAR TABEL	vii
DAFTAR GAMBAR.....	viii
ABSTRAK	ix
BAB I PENDAHULUAN	
A. Latar Belakang Masalah	1
B. Rumusan Masalah	5
C. Tujuan Penelitian.....	5
D. Manfaat penelitian	6
BAB II TINJAUAN PUSTAKA	
A. Ikan Tuna (<i>Thunnus albacores</i>)	7
B. Hidroksiapatit	12
C. Kalsium	16
D. Fosfat	18
E. Hidrotermal	19
F. <i>X-Ray Flourensence</i> (XRF)	20
G. <i>Fourier Transform Infrared</i> (FTIR)	21
H. <i>X-Ray Diffractometer</i> (XRD)	25
BAB III METODOLOGI PENELITIAN	
A. Waktu dan Tempat Penelitian	29
B. Alat dan Bahan	
1. Alat	29
2. Bahan	30
C. Prosedur Kerja	
1. Preparasi Sampel	30

2. Sintesis Hidroksiapatit	31
3. Analisis <i>X-Ray Flourensece</i> (XRF)	32
4. Analisis dengan <i>Fourier Transform Infra Red</i> (FTIR)	32
5. Analisis Menggunakan <i>X-Ray Diffraction</i> (XRD)	33
BAB IV HASIL PENELITIAN DAN PEMBAHASAN	
A. Hasil Penelitian.....	34
B. Pembahasan	37
BAB V PENUTUP	
A. Kesimpulan.....	50
B. Saran	51
KEPUSTAKAAN.....	52
LAMPIRAN-LAMPIRAN.....	57
RIWAYAT HIDUP	70

DAFTAR TABEL

Tabel 2.1 Komposisi kimia tulang ikan (<i>Thunnus sp</i>)	10
Tabel 2.2 Data Spektrum Inframerah	22
Tabel 2.3 Gugus Fungsi dan Daerah Serapan Hidroksiapatit	24
Table 4.1 Komposisi Kimia Serbuk Tulang Ikan Tuna Sirip Kuning (<i>Thunnus albacore</i>) Menggunakan XRF	34
Tabel 4.2 Rendemen dan Warna Hasil Sintesis Tulang Ikan Tuna (<i>Thunnus albacores</i>) dan Pengaruhnya Terhadap Waktu Pengadukan	35
Tabel 4.3 Data Hasil Analisis Menggunakan FTIR	35
Tabel 4.4 Data Hasil Kuntitatif yang Menunjukkan Struktur dan Bentuk Kristal	36
Tabel 4.5 Ukuran Kristalit	36

DAFTAR GAMBAR

Gambar 2.1 Ikan Tuna Sirip Kuning (<i>Thunnus albacores</i>)	11
Gambar 2.2 Struktur Hidroksiapatit	14
Gambar 2.3 Prinsip Kerja <i>X-Ray Flouresence</i> (XRF)	21
Gambar 2.4 Skema Sederhana dari FTIR Spektrofotometer	24
Gambar 2.5 Hasil FTIR dengan Variasi Suhu 700°C, 900°C dan 1200°C dengan Metode Hidrotermal	25
Gambar 2.6 Model Difraksi Hukum Bragg	26
Gambar 4.1 Grafik Hubungan antara Lama Waktu Pengadukan Terhadap Rendemen Hasil Sintesis	39
Gambar 4.2 Hasil Spektrum FTIR dengan Lama Pengadukan 1 jam	41
Gambar 4.3 Hasil Spektrum FTIR dengan Lama Pengadukan 2 jam	42
Gambar 4.4 Hasil Spektrum FTIR dengan Lama Pengadukan 3 jam	42
Gambar 4.5 Hasil Spektrum FTIR dengan Lama Pengadukan 4 jam	43
Gambar 4.6 Hasil Spektrum FTIR dengan Lama Pengadukan 5 jam	43
Gambar 4.7 Difraktogram Hasil XRD dengan Lama Pengadukan 1 jam	45
Gambar 4.8 Difraktogram Hasil XRD dengan Lama Pengadukan 2 jam	46
Gambar 4.9 Difraktogram Hasil XRD dengan Lama Pengadukan 3 jam	46
Gambar 4.10 Difraktogram Hasil XRD dengan Lama Pengadukan 4 jam	47
Gambar 4.11 Difraktogram Hasil XRD dengan Lama Pengadukan 5 jam	48

ABSTRAK

Nama : Hardiyanti

Nim : 60500112003

Judul : Sintesis dan Karakterisasi Hidroksiapatit dari Tulang Ikan Tuna (*Thunnus albacore*) dengan Metode Hidrotermal

Hidroksiapatit (HAp) dengan rumus molekul $\text{Ca}_5(\text{PO}_4)_3\text{OH}$ merupakan kalsium apatit biokeramik yang dapat ditemukan dalam gigi dan tulang manusia. Material ini disintesis melalui proses hidrotermal dengan prekursor kalsium yang diperoleh dari tulang ikan tuna sirip kuning (*Thunnus albacores*) dan prekursor fosfat $\text{NH}_4\text{H}_2\text{PO}_4$ 0,547 M. Waktu optimum pembentukan hidroksiapatit diperoleh pada lama waktu pengadukan 3 jam dengan persentase kadar 96,4156%. Material yang diperoleh diuji dengan FTIR dan XRD. Hasil karakterisasi dengan FTIR menunjukkan adanya serapan gugus karbonat (CO_3^{2-}) pada bilangan gelombang 1400-2400 cm^{-1} , ion fosfat (PO_4^{3-}) pada bilangan gelombang 500-1050 cm^{-1} dan ion hidroksil (OH^-) pada bilangan gelombang 3500 $^{-1}$. Hasil karakterisasi XRD diperoleh hasil yang optimum pada lama pengadukan 2 jam dengan ukuran kristalinitnya 41,9753 dengan produk hidroksiapatit dan bentuk kristal hexagonal.

Kata kunci: hidroksiapatit, tulang ikan tuna, hidrotermal

ABSTRACT

Name : Hardiyanti

Nim : 60500112003

Title : *Synthesis and Characterization Hydroxyapatite from tuna (Thunnus albacores) Bone by Hydrothermal Method*

*Hydroxyapatite (Hap) with molecular formula $Ca_5(PO_4)_3OH$ is calcium apatite bioceramics which can be found in human teeth and bones. This material is synthesized through a hydrothermal process with calcium precursors derived from fish bones yellow fin tuna (*Thunnus albacores*) and phosphate precursor $NH_4H_2PO_4$ 0.547 M. The optimum time of formation of hydroxyapatite obtained within 3 hours stirring from which content was 96.4156%. The material was analyzed by FTIR and XRD. Results showed their characterization by FTIR absorption carbonate groups (CO_3^{2-}) at wave number 1400-2400 cm^{-1} , a phosphate ion (PO_4^{3-}) at wave number 500-1050 cm^{-1} and hydroxyl ions (OH) at wave number 3500 cm^{-1} . It is from XRD analysis, that size and the shape of the crystal which was obtain within 2 hours of stirring are 41,9753 nm and hexagonal.*

Key Word : *hydroxyapatite, bone tuna, hydrothermal method*

BAB I

PENDAHULUAN

A. Latar Belakang

Seiring perkembangan zaman tingkat populasi penduduk Indonesia semakin tahun kian meningkat. Peningkatan yang terjadi nyata berbanding lurus terhadap tingkat konsumsi ikan pertahunnya. Tahun 1998 tingkat konsumsi ikan per kapita penduduk baru mencapai 9,25 kg per tahun dan akan terus meningkat tiap tahunnya. Jumlah penduduk Indonesia pada tahun 2016 akan meningkat mencapai 250 juta jiwa dan dipastikan kebutuhan ikan akan mencapai 37,23 kg per tahun, yang diharapkan dapat memenuhi kebutuhan 60% protein atau 21,72 gram protein dari perikanan dan selebihnya dari peternakan (Amri dan Khairuman, 2008: 7-8).

Dengan meningkatnya kebutuhan ikan, produsen membuat produk olahan berbahan dasar daging ikan dari berbagai jenis, seperti pembuatan nugget ikan. Salah satu ikan yang menjadi primadona dalam produk olahan ini adalah ikan tuna khususnya tuna sirip kuning (*Thunnus albacores*).

Ikan tuna memiliki nilai ekonomis tinggi dan merupakan komoditas perikanan Indonesia pengembang devisa terbesar kedua setelah udang. Ikan tuna pada umumnya dimanfaatkan untuk produksi pengalengan dan pembekuan. Produk beku dalam bentuk ikan beku yang sebagian besar hanya memanfaatkan daging ikannya saja, sedangkan sisa-sisa pemanfaatan lain seperti kepala, sirip dan tulang belum dimanfaatkan secara maksimal

(Nurilmala, dkk, 2006: 22), sehingga pengolahan ini akan berakhir dengan pembuangan limbah.

Tulang ikan umumnya memiliki kandungan kalsium terbanyak di antara bagian tubuh ikan yang lain karena unsur utama dari tulang ikan adalah kalsium, fosfor dan karbonat (Nabil, 2005: 13). Hasil samping limbah ini belum banyak digunakan sehingga hanya menjadi limbah yang mengganggu lingkungan, terutama dapat menimbulkan bau yang tidak sedap dan pencemaran air yang memiliki kandungan BOD (*Biochemical oxygen demand*), COD (*chemical oxygen demand*) dan TSS (*total suspended solids*) yang akan mengurangi angka baku kebutuhan air bersih (Aisyah, 2012: 134). Untuk mengurangi pencemaran lingkungan salah satu alternatif pemanfaatan limbah tulang ikan khususnya tulang ikan tuna dapat digunakan sebagai bahan dasar pembuatan hidroksiapatit.

Sebagaimana Allah SWT senantiasa mengisyaratkan kepada manusia untuk mengembangkan, memperluas ilmu pengetahuan dan mencari apa yang telah Allah karuniakan karena sesungguhnya Allah menciptakan sesuatu dengan tidak sia-sia (dengan suatu tujuan).

Seperti dalam Firman Allah SWT QS. Al-Qashasah (28): 77

وَأَتَّبِعْ فِيْمَا ءَاتَاكَ اللهُ الدَّارَ الْآخِرَةَ ۗ وَلَا تَنْسَ نَصِيْبَكَ مِنَ الدُّنْيَا ۗ وَأَحْسِنَ ۗ كَمَا أَحْسَنَ اللهُ إِلَيْكَ ۗ
وَلَا تَبْغِ الْفَسَادَ فِي الْأَرْضِ ۗ إِنَّ اللهَ لَا يُحِبُّ الْمُفْسِدِيْنَ ۗ ۗۗ

Terjemahnya :

“Dan carilah pada apa yang telah dianugerahkan Allah kepadamu (kebahagiaan) negeri akhirat, dan janganlah kamu melupakan bahagianmu dari (keni`matan) duniawi dan berbuat baiklah (kepada orang lain) sebagaimana Allah telah berbuat baik kepadamu,

dan janganlah kamu berbuat kerusakan di (muka) bumi. Sesungguhnya Allah tidak menyukai orang-orang yang berbuat kerusakan” (Kementerian Agama RI, 2012).

Dari ayat tersebut terdapat kata : **أَحْسِنُ** yang terambil dari kata *ahsana* yang berarti baik. Patron yang digunakan ayat ini berbentuk perintah dan membutuhkan objek. Namun, objeknya tidak disebut sehingga mencakup segala sesuatu yang dapat disentuh oleh kebaikan, terutama terhadap lingkungan, harta benda, tumbuh-tumbuhan, binatang, manusia, baik orang lain maupun diri sendiri. (Tafsir Al-Mishbah volume 9, 2002: 664-666). Dalam ayat ini juga Allah memerintahkan untuk tidak melakukan kerusakan di muka bumi yang mencemari lingkungan, seperti pencemaran yang diakibatkan dari limbah tulang ikan khususnya tulang ikan tuna dengan spesies tuna sirip kuning yang memiliki hasil tangkapan tertinggi dibandingkan dengan jenis tuna lainnya. Sehingga, untuk mengatasi pencemaran ini dapat dilakukan dengan cara pembuatan hidroksiapatit yang nyatanya memiliki nilai ekonomis yang tinggi dalam dunia medis.

Hidroksiapatit (Hap) dengan rumus molekul $\text{Ca}_5(\text{PO}_4)_3(\text{OH})$ atau lebih dikenal dengan rumus $\text{Ca}_{10}(\text{PO}_4)_6(\text{OH})_2$ merupakan kalsium apatit biokeramik yang dapat ditemukan dalam gigi dan tulang manusia. Dalam dunia kedokteran modern material hidroksiapatit banyak digunakan sebagai pengganti tulang manusia yang rusak karena strukturnya yang sangat mirip dan sesuai dengan tulang manusia. Oleh karena kesesuaiannya tersebut maka tulang retak, patah, atau rusak yang direkonstruksi dengan hidroksiapatit dapat dengan cepat membangun ikatan dengan tulang asli dalam tubuh manusia (Fitriawan, dkk, 2014: 2).

Seiring dengan perkembangan teknologi, sintesis hidroksiapatit dapat dilakukan dengan beberapa metode seperti teknik pendekatan sol-gel, teknik hidrotermal, teknik biomimetik, teknik deposisi, teknik elektrodeposisi dan lain-lain (Nayak, 2010: 903). Namun reaksi hidrotermal saat ini menjadi sebuah teknik yang populer untuk memperoleh hidroksiapatit dalam bentuk partikel murni atau nano partikel.

Sintesis hidrotermal pada prosesnya memanfaatkan reaksi fase tunggal pada suhu tinggi ($T > 25^{\circ}\text{C}$) dan tekanan ($P > 100$ kPa). Proses hidrotermal dapat menghasilkan partikel dengan kristalinitas yang baik dan tidak mengalami aglomerasi, serta menghasilkan bentuk dan komposisi yang seragam. (Suchanek dan Richard, 2006: 184).

Ikhbal Muhara (2015) yang melakukan sintesis hidroksiapatit dari kulit kerang darah dengan metode hidrotermal suhu rendah. Dalam penelitiannya melakukan variasi suhu sintering dan pengaruhnya terhadap ukuran kristal dan diperoleh hasil bahwa semakin tinggi suhu sintering maka semakin besar pula ukuran kristalnya. Penelitian lainnya yaitu Jayachandran Venkatesan (2010), dalam penelitiannya melakukan variasi suhu kalsinasi terhadap rendaman hasil hidroksiapatit yang dihasilkan dari tulang ikan tuna (*Thunnus obesus*) dan diperoleh suhu optimum kalsinasi untuk memperoleh hidroksiapatit adalah suhu 1000°C . Dari acuan beberapa penelitian tersebut sehingga dilakukan penelitian ini untuk sintesis Hidroksiapatit Dari Tulang Ikan Tuna sirip kuning (*Thunnus albacores*) dengan Metode Hidrotermal. Hasil kristal hidroksiapatit yang diperoleh kemudian dilakukan analisa dengan menggunakan alat instrumentasi FTIR (*Fourier Transform*

Infrared) untuk menguji adanya gugus fungsi yang terdapat dalam senyawa hidroksiapatit yang dihasilkan dan dilanjutkan dengan XRD (*X-Ray Diffractometer*) untuk melihat unsur penyusun dan bentuk strukturnya.

B. Rumusan Masalah

Berdasarkan latar belakang diatas dapat diperoleh rumusan masalah sebagai berikut:

1. Berapa rendamen hidroksiapatit yang dihasilkan dari Tulang Ikan Tuna (*Thunnus albacores*) dengan metode hidrotermal ?
2. Bagaimana karakterisasi senyawa hidroksiapatit yang dihasilkan dari tulang ikan tuna sirip kuning menggunakan FTIR ?
3. Bagaimana karakterisasi senyawa hidroksiapatit yang dihasilkan dari tulang ikan tuna sirip kuning menggunakan XRD?

C. Tujuan penelitian

Mengarah dari rumusan masalah sehingga diperoleh tujuan penelitian yaitu :

1. Untuk mengetahui rendamen hidroksiapatit yang dihasilkan dari tulang ikan tuna (*Thunnus albacores*).
2. Untuk menentukan gugus fungsi hidroksiapatit yang dihasilkan dari tulang ikan tuna (*Thunnus albacores*) menggunakan FTIR (*fourier transform infrared*).
3. Untuk mengetahui unsur penyusun dan bentuk struktur hidroksiapatit yang dihasilkan dari tulang ikan tuna (*Thunnus albacores*) dengan menggunakan XRD (*X-ray diffractometer*).

D. Manfaat Penelitian

Adapun manfaat yang diharapkan dari hasil penelitian ini adalah:

1. Sebagai salah satu cara alternatif untuk mengurangi limbah tulang ikan khususnya tulang ikan tuna (*Thunnus albacores*).
2. Sebagai informasi bagi dunia medis tentang senyawa hidroksiapatit yang dapat diperoleh dari tulang ikan tuna (*Thunnus albacores*) dengan metode hidrotermal.
3. Sebagai sumber rujukan untuk penelitian lanjutan dan peneliti lainnya tentang sintesis hidroksiapatit dari tulang ikan tuna (*Thunnus albacores*) dengan metode hidrotermal.

BAB II

TINJAUAN PUSTAKA

A. Ikan Tuna (*Thunnus albacores*)

Indonesia sebagai negara kepulauan memiliki potensi sumber daya perikanan dan kelautan yang besar. Hal ini didukung dengan wilayah perairan Indonesia yang mencakup 60% luas wilayah Indonesia. Dengan kata lain, wilayah perairan Indonesia lebih luas di bandingkan wilayah daratannya (Sompie, 2014: 44). Sebanyak 47 ekosistem alami dapat teridentifikasi di Indonesia yang di dalamnya hidup lebih dari 280.000 jenis tumbuhan, 350.000 jenis hewan dan lebih banyak lagi jasad renik. Kekayaan tersebut menjadikan Indonesia sebagai salah satu negara berpotensi besar dibidang perikanan (Nurcahyo, 2014: 1).

Dalam QS.An-Nahl (16) ayat 14:

وَهُوَ الَّذِي سَخَّرَ الْبَحْرَ لِتَأْكُلُوا مِنْهُ لَحْمًا طَرِيًّا وَتَسْتَخْرِجُوا مِنْهُ حَبْلًا مَلْبَسًا وَتَرَى الْفُلَّكَ
مَوَاجِرَ فِيهِ وَلِيَبْتَلِيَكُمْ فِيهِ مِمَّا تَكْفُرُونَ ۚ

Terjemahnya :

“Dan Dialah, Allah yang menundukkan lautan (untukmu), agar kamu dapat memakan daripadanya daging yang segar (ikan), dan kamu mengeluarkan dari lautan itu perhiasan yang kamu pakai; dan kamu melihat bahtera berlayar padanya, dan supaya kamu mencari (keuntungan) dari karunia-Nya, dan supaya kamu bersyukur” (Kementerian Agama, 2012).

Menurut Tafsir Ibnu Katsir menjelaskan bahwa Allah memberi kabar tentang pengendalian-Nya terhadap lautan yang menggebu-gebu dengan ombak, dan Allah

memberi anugerah kepada hamba-Nya dengan menundukkan lautan itu untuk mereka, membuatnya mudah untuk mengaranginya, dan menjadikan di dalamnya ikan besar dan ikan kecil, serta menjadikan dagingnya halal baik dari yang hidup atau dari yang mati. Allah memberi anugerah kepada mereka dengan apa yang Allah ciptakan di dalam lautan itu, berupa mutiara dan permata yang sangat berharga. Dan Allah memudahkan bagi mereka untuk mengeluarkan mutiara dan permata itu dari tempatnya, sehingga menjadi perhiasan dan mereka memakainya. Allah juga senantiasa mengisyaratkan untuk selalu bersyukur atas apa yang telah di karuniakan-Nya (Ghoffar, 2005: 47). Dengan kekayaan laut yang dimiliki Indonesia, kita dapat menikmati segala kekayaannya termasuk flora dan fauna yang terdapat dalam laut itu sendiri, 350.000 jenis hewan yang terdapat dalam laut Indonesia salah satunya terdapat spesies ikan tuna (*Thunnus sp*).

Ikan tuna adalah ikan laut yang terdiri atas beberapa spesies dari family *Scombridae*. Tidak seperti kebanyakan ikan lain yang memiliki daging berwarna putih, daging ikan ini berwarna merah muda sampai merah tua. Hal ini disebabkan karena otot ikan tuna yang lebih besar, seperti tuna sirip biru (*blue-fin-tuna*). Ikan tuna adalah salah satu jenis ikan yang memiliki nilai komersial yang tinggi (Sanaji, 2010: 7). Ikan tuna merupakan pengembara lautan yang luas yang mampu bermigrasi dalam jarak yang jauh (Kuncoro dan Ardi, 2009: 100).

Nama ikan tuna berasal dari nama dewa Yunani, yaitu *Thynnos*. Ikan tuna adalah jenis ikan pelagis yang hidup berkelompok dan senantiasa bermigrasi dari samudera

selatan. Ribuan kilometer dapat ditempuh ikan tuna dengan kecepatan tinggi sehingga membuat ikan tuna sulit ditangkap (Bahar, 2006: 49).

Menurut Saanin (1968), klasifikasi dan identifikasi ikan tuna adalah sebagai berikut:

Filum : Chordata
Subfilum : Vertebrata
Kelas : Teleostei
Subkelas : Actinopterygii
Ordo : Perciformes
Subordo : Scombroideae
Famili : Scombroidae
Genus : *Thunnus*
Spesies : *Thunnus sp*

Ikan tuna memiliki tubuh seperti torpedo dengan kepala yang lancip. Tubuhnya licin, sirip dada melengkung dan sirip ekor bercagak dengan celah yang lebar. Dibagian belakang sirip punggung dan sirip dubur juga terdapat sirip-sirip tambahan yang kecil dan terpisah-pisah. Pada sirip punggung, dubur, perut, dan dada pada pangkalnya mempunyai lekukan pada tubuhnya, sehingga dapat memperkecil daya gesekan pada air pada saat ikan sedang berenang dengan kecepatan penuh (Ghufron, 2011: 323-324).

Kandungan gizi yang tinggi pada ikan tuna sangat efektif untuk menyembuhkan berbagai penyakit, salah satunya stroke. Dalam sebuah penelitian menunjukkan bahwa konsumsi ikan tuna sebanyak 2-4 kali setiap minggu dapat mereduksi 27% resiko penyakit stroke daripada yang hanya mengkonsumsi 1 kali dalam sebulan. Terdapat banyak penelitian yang telah dilakukan dengan menggunakan bahan dasar ikan tuna untuk

mengobati beberapa penyakit, salah satunya mencegah obesitas dan sangat baik untuk penderita diabetes mellitus (Ghufran, 2010: 173). Disamping dari manfaat kandungan gizi yang terdapat dalam ikan tuna ternyata terdapat masalah lain, yaitu limbah tulang ikan tuna itu sendiri yang belum dimanfaatkan secara maksimal.

Tulang ikan tuna merupakan salah satu limbah hasil industri perikanan yang belum dimanfaatkan dengan baik. Dilihat dari sudut pandang pangan dan gizi, tulang ikan sangat kaya akan kalsium yang dibutuhkan bagi manusia bahkan unsur utama dari tulang ikan adalah kalsium dan fosfat. Limbah tulang ikan tuna mengandung kalsium sebesar 40.02 – 80,03 % (Puspitarini, 2011).

Tabel 2.1 Komposisi kimia tulang ikan tuna (*Thunnus sp*)

No	Parameter	Berat kering	Berat basah
1	Air	-	56,11%
2	Abu	39,19%	17,20%
3	Protein	52,54%	7,56%
4	Lemak	23,06%	3,32%

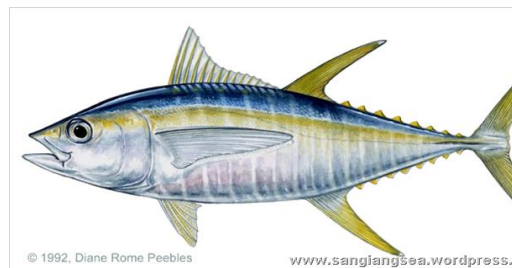
Sumber: (Lestari, 2001: 78)

Ikan tuna ada 4 spesies, yaitu madidihang atau tuna sirip kuning atau *yelloefin tuna* (*Thunnus albacores*), tuna mata besar atau *bigeye tuna* (*T. obesus*), albakor atau albacore tuna (*T. alalunga*), dan tatihu atau tuna sirip biru atau Isouthren bluefin tuna (*T. maccoyi*). Di samping itu, dikenal pula ikan cakalang (*Katsuwonus pelamis*) dan tongkol atau komo (*Euthynnus affinis dan auxis thazard*) (Ghufran, 2010: 175).

Jenis ikan tuna yang digunakan dalam penelitian ini adalah madidihang atau ikan tuna sirip kuning (*Thunnus albacores*). Madidihang atau tuna sirip kuning (*Thunnus*

albacores) merupakan tuna berukuran besar. Ikan tuna jenis ini dapat mencapai ukuran lebih dari 260 cm, tetapi yang umum tertangkap antara 50-250 cm. Ikan ini tersebar luas di Samudra Hindia, pasifik dan Atlantik yang mendekati daerah tropis, dan dapat berenang bebas dengan suhu 10-31°C (Ghufran, 2010: 172).

Tuna sirip kuning memiliki tubuh gemuk dan kuat. Sirip punggung kedua dan sirip duburnya melengkung panjang ke arah ekor yang ramping dan runcing berbentuk sabit. Ujung sirip dada berakhir pada permulaan sirip dubur. *Linea lateralis*-nya berombak, dengan pinggir yang berwarna hitam dan ujung yang tajam. Badan bagian atas berwarna kehijau-hijauan dan semakin ke bawah berwarna keperak-perakan (Ghufran, 2010: 172) (**Gambar 2.1**).



Gambar 2.1 Ikan Tuna Sirip Kuning (*Thunnus albacores*)

Sumber: (Lestari, 2001: 78)

Tuna sirip kuning (*Thunnus albacores*) merupakan jenis komoditas tuna yang memiliki hasil tangkapan tertinggi dibandingkan dengan jenis tuna lainnya di Indonesia. Hasil tangkapan keempat jenis tuna di Indonesia secara keseluruhan pada tahun 2004 hingga 2011 mencapai 1.297.062 ton, dimana persentase hasil tangkapan tuna sirip kuning mendominasi hingga 69% dari total hasil tangkapan. Selanjutnya hasil tangkapan diikuti

oleh tuna mata besar (*Thunnus obesus*) 24%, tuna albakora (*Thunnus alalunga*) 6% dan hasil tangkapan tuna srip biru selatan (*Thunnus maccoyi*) memiliki persentase kurang dari 1% (Direktorat Jenderal Perikanan Tangkap, 2002).

B. Hidroksiapatit

Selama beberapa dekade terakhir perkembangan penelitian, diarahkan untuk sintesis berbagai *biokeramic* yang banyak digunakan dalam berbagai aplikasi biomedis, terutama dalam ortopedi dan kedokteran gigi (Jarcho, 1977:79). Seperti halnya material yang dikembangkan Professor Bonfield College adalah komposit hidroksiapatit (HAp) dalam polietilen kerapatan-tinggi yang membantu mendorong pertumbuhan tulang implan (Smallman dan Bishop, 2000: 442). Hidroksiapatit (HAp) adalah komponen anorganik kalsium fosfat berbasis biokeramik dengan bioafinitas tinggi mempunyai sifat biokompaktibilitas yang baik terhadap jaringan manusia (Prakaran, dkk. 2006: 84).

Beberapa mineral seperti kalsium dan fosfor terdapat dalam jumlah yang relatif besar dalam tubuh. Kalsium merupakan unsur terbanyak kelima dan kation terbanyak di dalam tubuh manusia, yaitu sekitar 1,5-2% dari keseluruhan berat tubuh. Lebih dari 99% kalsium yang tidak larut terdapat pada tulang dalam bentuk hidroksiapatit $\text{Ca}_{10}(\text{PO}_4)_6(\text{OH})_2$ (Makfoeld, 2002: 161).

Hidroksiapatit [$\text{C}_{10}(\text{PO}_4)_6(\text{OH})_2$] telah diakui sebagai bahan cangkok tulang untuk aplikasi medis dan gigi karena memiliki komposisi kimia yang mirip dengan tulang alami. Umumnya, bahan substitusi tulang seperti *autograft*, *allograft* dan *xenograft* digunakan

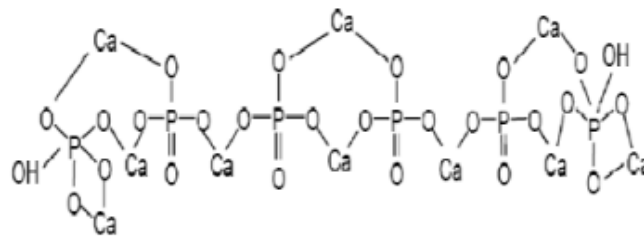
untuk mengatasi masalah yang berkaitan dengan patah tulang. Tapi, tak satu pun dari bahan-bahan ini memberikan hasil yang maksimal dalam mengganti tulang karena ketidakstabilan mekanis dan biologis untuk jaringan tulang. Akhir-akhir ini kalsium fosfat bio keramik seperti kalsium fosfat, tri-kalsium fosfat dan HAp diidentifikasi sebagai bahan substitusi tulang yang cocok. Tidak seperti halnya kalsium fosfat, HAp tidak bekerja di bawah kondisi fisiologi, sehingga dapat dimanfaatkan untuk perbaikan tulang seperti patah tulang (Mondal, 2012: 56). Hidroksiapatit buatan juga menunjukkan afinitas terhadap jaringan keras tulang dalam (Liu, dkk 2001: 1721)

Pembuatan serbuk hidroksiapatit dipengaruhi oleh morfologi, stoikiometri, kristalinitas dan ukuran, khususnya rentang nanometer yang memiliki peran utama dalam produksi *bio-material*. Sintesis serbuk hidroksiapatit telah dilakukan dengan berbagai sumber Ca dan P, di antaranya kalsium nitrat $[\text{Ca}(\text{NO}_3)_2]$ dengan ammonium hidrogen fosfat $[(\text{NH}_4)_2\text{HPO}_4]$ dan kalsium hidroksida $[\text{Ca}(\text{OH})_2]$ dengan asam fosfat (H_3PO_4) (Prabakaran, 2006: 85).

Komposisi hidroksiapatit dengan persen berat ideal Ca39,9%, P 18,5% dan OH 3,38% serta rasio ideal antara Ca/P sebesar 1,67% (Chang, dan Kranker, 1992: 14), memiliki sifat tidak beracun, memiliki struktur pori dengan luas permukaan yang besar, stabilitas termal yang baik dan bioaktif (Hui, dkk, 2010: 683). Selain itu Hidroksiapatit juga dapat diaplikasikan dalam berbagai keperluan dan kebutuhan lain, misalnya *drug carrier*

(Kano, dkk, 1994: 283), penghilang logam berat (Reichert, 1996: 1231), dan bertindak sebagai biosensor (Salman, 2008: 490).

Hidroksiapatit juga merupakan suatu struktur kristal yang terdiri atas kalsium fosfat dan disusun di sekeliling matriks organik berupa protein kolagen untuk memberikan kekuatan dan kekakuan tulang (Almasier, 2001: 240). Seperti gambar berikut,



Gambar 2.2 Struktur hidroksiapatit (Warastuti dan Basril, 2011: 75)

Struktur kristal senyawa hidroksiapatit dapat dibedakan menjadi dua jenis yaitu monoklin dan heksagonal. Umumnya kristal hidroksiapatit yang dibuat dengan cara sintesis memiliki struktur kristal heksagonal. Struktur hidroksiapatit heksagonal memiliki parameter kisi $a = b = 9,4225 \text{ \AA}$, $c = 6,881 \text{ \AA}$ dan $\gamma = 120^\circ$. Struktur kristal monoklin hidroksiapatit memiliki jarak simetri antar gugus $P2_1/b$ dan parameter kisi $a = 9,421 \text{ \AA}$, $b = 2a$, $c = 6,881 \text{ \AA}$ dan $\gamma = 120^\circ$ (Manafi, 2009 : 90).

Struktur kristal monoklin hidroksiapatit terbentuk karena adanya susunan OH^- membentuk urutan $\text{OH}^- \text{OH}^- \text{OH}^- \text{OH}^-$ yang menyebabkan parameter kisi b menjadi 2 kali a .

Namun struktur heksagonal juga dapat terbentuk pada kondisi stoikiometrik apabila susunan OH⁻ tidak teratur (Manafi, 2009: 92).

Sifat fisika dari hidroksiapatit telah banyak dipelajari, diantaranya adalah penelitian yang dilakukan oleh Barakat (2008) mengatakan bahwa sifat fisika hidroksiapatit yang melalui proses dekomposisi termal memiliki kristalinitas yang baik, sedangkan hidroksiapatit melalui proses alkalin hidrotermal dan proses air subkritis menghasilkan hidroksiapatit berbentuk nano partikel. Adanya perbedaan sifat fisika dari hidroksiapatit pada penelitian tersebut disebabkan karena adanya perbedaan variasi struktural, yaitu pengaruh porositas mikro yang tersisa, ukuran partikel serta adanya pengotor. Rasio molar Ca/P juga berpengaruh pada struktur hidroksiapatit yang disintesis. Rasio molar Ca/P dari hidroksiapatit adalah 1,67. Selama ini hidroksiapatit sintesis diimpor dengan harga yang mahal, yaitu sebesar 6,6 juta rupiah per 5 gramnya dengan merek *Sigma Alderich*, padahal senyawa ini dapat disintesis dengan mencampurkan prekursor kalsium dengan prekursor fosfat (Wardani, 2015: 1), dari bahan alam yang mudah didapat dan belum termanfaatkan secara maksimal (Syafriana, 2015: 1-2).

Menurut Syafriana (2015: 3), sifat-sifat utama dari Hidroksiapatit:

1. Mampu untuk menyatu ke dalam struktur tulang dan mendorong pertumbuhan tulang tanpa merusak atau larut (disebut sifat bioaktif)
2. Hidroksiapatit secara termal merupakan senyawa yang tidak stabil, mudah terurai pada temperature $T > 1200^{\circ}\text{C}$ tergantung pada stoikiometrinya

3. Mempunyai kekuatan mekanik yang rendah sehingga tidak dapat digunakan dalam jangka waktu lama untuk menopang beban

C. Kalsium

Kalsium merupakan unsur mineral penting dalam pembentukan kalsium fosfat dalam bentuk kristal hidroksiapatit, yang diendapkan dalam matriks protein tulang (Makfoeld, 2002: 161). Kalsium memiliki peranan penting dalam konduksi saraf, otot, dan pembekuan darah. Jika kadar kalsium dalam darah menurun di bawah normal, kalsium akan diambil dari tulang dan dimasukkan ke dalam darah untuk mempertahankan tingkat kalsium darah. Oleh karena itu, penting untuk mengkonsumsi cukup kalsium untuk menjaga persediaan kalsium (Houtkooper dan Vanessa, 2011: 1).

Kalsium (Ca) memiliki nomor atom 20. Kalsium memiliki dua elektron ekstra di kulit terluarnya. Dengan menghilangkan dua elektron tersebut, kalsium dapat memperoleh konfigurasi stabil dari delapan elektron di kulit terluarnya. Karenanya, dalam bentuk terionisasinya, kalsium memiliki muatan +2 dan di tulis sebagai Ca^{2+} (Fried dan Goerge, 2006: 17). Titik lebur dan titik didih untuk kalsium adalah 850°C dan 1440°C (Windholz M, 1983). Garam-garamnya biasanya berupa bubuk putih dan membentuk larutan tak berwarna (Svehla, 1979: 301).

Kalsium salah satu ion tubuh yang paling banyak, terutama dikombinasi dengan fosfor untuk membentuk garam mineral dari tulang dan gigi (Horne, 200: 102). Kalsium ada dalam tubuh dalam bentuk garam kalsium. 90% kalsium berada dalam tulang dan gigi

dalam bentuk kristalin, yang member struktur keras. Kalsium menstabilkan membran sel dan memblokir transpor natrium ke dalam sel (Tambayong, 2000: 33).

Kalsium dibutuhkan untuk proses pembentukan dan perawatan jaringan rangka tubuh serta berperan dalam kontraksi otot, menjaga keseimbangan hormon dan katalisator pada reaksi biologis (Nabil, 2005: 15).

Kalsium yang terdapat di alam berikatan dengan karbonat membentuk senyawa kalsium karbonat (CaCO_3). Untuk mendapatkan senyawa kalsium oksida (CaO) dapat dilakukan melalui proses sintering atau kalsinasi dengan menggunakan suhu tinggi. Dalam prosesnya Kalsium karbonat akan terpecah menjadi dua molekul kecil. Salah satu dari molekul ini terdiri atas atom kalsium (Ca) yang bergabung dengan satu atom oksigen (O), menghasilkan CaO . Molekul lainnya terdiri atas atom karbon bergabung dengan dua atom oksigen, menghasilkan CO_2 . Inilah gas karbon dioksida yang kemudian akan lepas ke udara (Achmadi, 2000: 35).

Jika air ditambahkan pada serbuk kalsium oksida akan terjadi reaksi yang kuat, dan serbuk menyerap dan melepas kalor. Molekul-molekul kalsium oksida dan molekul air (H_2O), akan membentuk molekul kalsium hidroksida. Sebagaimana ditunjukkan oleh namanya, molekul ini mengandung kalsium, hidrogen, dan oksigen. Rumus kimianya adalah $\text{Ca}(\text{OH})_2$ yang menunjukkan bahwa dua pasangan oksigen-hidrogen (OH) bergabung dengan satu atom kalsium (Achmadi, 2000: 37).

Senyawa kalsium oksida biasanya digunakan sebagai disinfektan, biasanya larutan 10% susu kapur. Senyawahidratnya, Ca(OH)_2 digunakan sebagai adukan atau perekat untuk meningkatkan kekerasan dan adhesif padabangunan. Kalsium oksida juga digunakan dalam pembuatan kaca. Pada pertanian digunakan untuk mengurangi kadar keasaman tanah, dalam produksi kertas untuk memecahkan lignin dan *bleaching agent*. Dan banyak juga digunakan pada industri tembikar/keramik, cat dan makanan (Achmadi, 2000: 37).

D. Fosfat

Fosfat adalah senyawa fosfor yang anionnya mempunyai atom fosfor dan dilengkapi oleh empat atom oksigen yang terletak pada sudut tetrahedron. Ada tiga jenis asam fosfat yang dikenal orang yaitu (1) asam ortofosfat (H_2PO_4), asam pirofosfat ($\text{H}_4\text{P}_2\text{O}_7$) dan asam metafosfat (HPO_3). Ortofosfat adalah paling stabil dan paling penting (disering disebut fosfat saja). Larutan pirofosfat dan metafosfat akan berubah menjadi ortofosfat secara perlahan pada suhu biasa (Yogiarti, dkk, 2014: 162-163).

Analisis anion yang sering dilakukan meliputi 11 anion, yang paling umum yaitu anion sulfida (S^{2-}), sulfit (SO_3^{2-}), karbonat (CO_3^{2-}), nitrit (NO_2^{2-}), iodide (I^-), bromide (Br^-), klorida (Cl^-), fosfat (PO_4^{3-}), kromat (CrO_4^{2-}), nitrat (NO_3^-) dan sulfat (SO_4^{2-}) (Chadijah, 2012: 163).

Kelarutan fosfat dari ammonium dan dari logam-logam alkali larut dalam air, kecuali dari litium. Fosfat primer dari logam-logam alkali tanah juga larut. Semua fosfat

logam-logam lainnya, dan juga fosfat sekunder dan tersier dari logam-logam alkali tanah, larut sangat sedikit atau tidak larut dalam air (Svehla, 1979: 377).

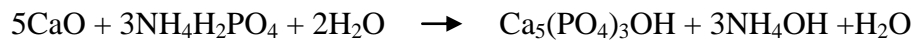
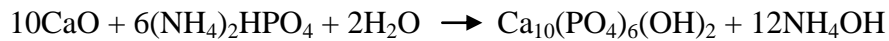
E. Hidrotermal

Teknik hidrotermal untuk sintesis bahan diidentifikasi sebagai teknologi penting. Dengan menggunakan teknologi ini berbagai bahan keramik dapat disintesis termasuk HAp (Suchanek dan Richard, 2006: 184). Metode hidrotermal dapat didefinisikan sebagai proses mineralisasi yang memanfaatkan reaksi fase tunggal dengan suhu di atas suhu ruang ($T > 25^{\circ}\text{C}$) dan tekanan di atas 1 atmosfer ($P > 100 \text{ kPa}$) pada sistem tertutup (Yoshimura, 2008).

Metode hidrotermal dalam prosesnya terbentuk padatan kristal tunggal, partikel murni atau nanopartikel. Kelebihan metode hidrotermal yaitu dapat mempercepat interaksi antara materi padat dan cair, dapat terbentuk fase murni dan material homogen, difusivitas tinggi, viskositas rendah, dan meningkatnya daya larut (Yoshimura, 2008: 165). Keuntungan lain dari sintesis hidrotermal adalah kemurnian serbuk hidrotermal yang dihasilkan melebihi kemurnian bahan awalnya, karena dengan bantuan adanya uap panas dan tekanan tertentu pada sistem tertutup akan menyebabkan kristal yang tumbuh akan terhindar dari senyawa atau unsur lain yang tidak dapat dihancurkan pada pemanasan suhu tinggi (Suchanek dan Richard, 2006:185).

Metode hidrotermal pada umumnya mereaksikan CaO yang didapat dari CaCO_3 dengan precursor fosfat seperti *diamonium hydrogen phosphate* (DHP, $(\text{NH}_4)_2\text{HPO}_4$) atau

dengan *ammonium dihydrogen phosphate* (ADP, $\text{NH}_4\text{H}_2\text{PO}_4$) dengan persamaan reaksi sebagai berikut :

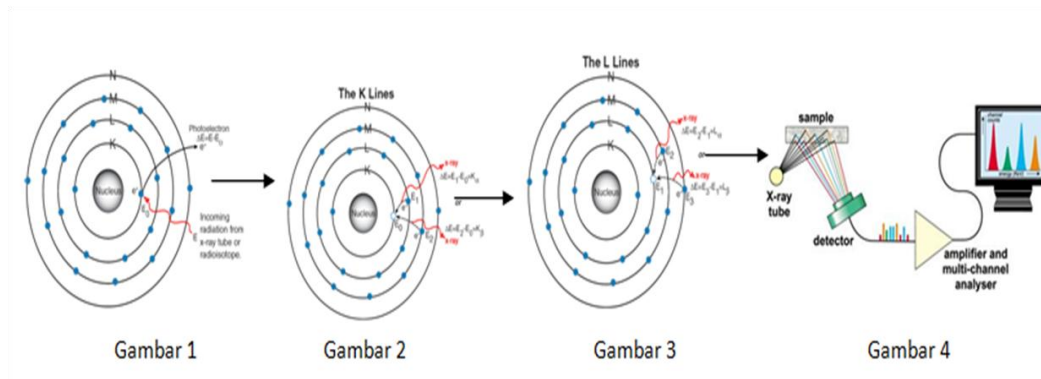


Ammonium dihidrogen fosfat (ADP) atau monoamonium fosfat ($\text{NH}_4\text{H}_2\text{PO}_4$) terbentuk ketika larutan asam fosfat ditambahkan ke amonia sampai dalam keadaan asam. Ini mengkristal dalam prisma kuadrat. Monoamonium fosfat sering digunakan dalam campuran pupuk pertanian kering (Jegatheesan, 2012: 16).

F. X-Ray Fluorescence (XRF)

X-Ray Fluorescence (XRF) merupakan metode non destruktif yang secara luas digunakan untuk analisis bermacam-macam unsur secara kuantitatif dan kualitatif. Metode ini banyak digunakan karena preparasi sampel yang mudah dan kemampuan untuk mendeteksi dan menganalisis unsur-unsur dengan nomor atom yang sama atau lebih besar dari aluminium. Tetapi tidak dapat digunakan untuk analisis unsur-unsur dengan atom ringan, seperti hidrogen, helium dan berilium (Skoog, 1985: 135).

Analisis menggunakan XRF dilakukan berdasarkan identifikasi dan pemecahan karakteristik sinar-X yang terjadi akibat adanya efek fotolistrik. Efek fotolistrik terjadi karena elektron dalam atom target pada sampel terkena sinar berenergi tinggi (radiasi gamma, sinar X), seperti pada **Gambar 2.3**



Gambar 2.3 Prinsip Kerja *X-Ray Fluorescence* (XRF)
 (Sumber: Umardani, 2016: 98)

1. Elektron dari kulit K terpancarkan keluar dari atom akibat dari radiasi sinar X yang datang. Akibatnya, terjadi kekosongan elektron pada orbital (Gambar 1)
2. Elektron dari L atau M “turun” untuk mengisi kekosongan tersebut disertai oleh emisi sinar X yang khas dan meninggalkan kekosongan lain di kulit L atau M (Gambar 2)
3. Saat kekosongan terbentuk di kulit L, elektron dari kulit M atau N “turun” untuk mengisi kekosongan tersebut sambil melepas sinar X (Gambar 3)
4. Spektrometri XRF memanfaatkan sinar X yang dipancarkan oleh bahan yang selanjutnya ditangkap detektor untuk dianalisis kandungan unsur dalam bahan (Gambar 4).

G. *Fourier Transform Infrared* (FTIR)

Spektrofotometri *Infra Red* atau Infra Merah merupakan suatu metode analisis yang digunakan untuk mengamati interaksi molekul dengan radiasi elektromagnetik yang

berada pada daerah panjang gelombang 0,75 – 1.000 μm atau pada frekuensi 13.000 – 10 cm^{-1} (Khopkar, 2010: 246-247).

Tabel 2.2 Daerah Spektrum Inframerah (Khopkar, 2010: 247).

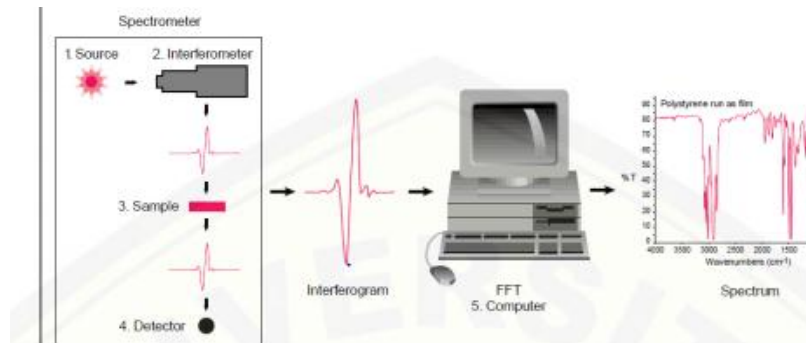
Daerah	Panjang gelombang (μm)	Bilangan gelombang cm^{-1}	Frekuensi (Hz)
Dekat	0,78 – 25	12.800 – 4000	$3,8 \times 10^{14} - 1,2 \times 10^{14}$
Pertengahan	2,5 – 50	4000 – 200	$1,2 \times 10^{14} - 6,0 \times 10^{12}$
Jauh	50 – 1000	200 – 10	$6,0 \times 10^{12} - 3,0 \times 10^{11}$

Namun dengan seiring berjalannya waktu, perkembangan teknologi modern semakin meningkat, spektrofotometer *Infra Red* memiliki terobosan baru yaitu Spektroskopis Inframerah Transformasi Fourier (*Fourier Transform Infrared-FTIR*)(Suseno, 2008: 23).

Fourier Transform InfraRed (FTIR) merupakan sebuah alat yang digunakan untuk mengidentifikasi gugus fungsi dan jenis ikatan kimia dalam suatu senyawa (Khoirudin, 2015: 3). Spektroskopis FTIR didasarkan bahwa setiap material terdiri dari bahan-bahan kimia, baik senyawa, atom, maupun polimer. Setiap material tersebut membawa sifat khas dari senyawa-senyawa penyusunnya, baik sifat fisik maupun sifat kimia. Salah satu sifat kimia dibawa oleh gugus fungsi dari senyawa penyusun material. Masing-masing gugus fungsi dari senyawa mempunyai energi untuk bergetar. *Fourier Transform InfraRed* (FTIR) dapat menyerap energi yang dilakukan tiap gugus fungsi untuk bergetar (Road, 2001).

Analisis FTIR dapat digunakan untuk identifikasi senyawa kimia organik maupun anorganik secara kualitatif maupun kuantitatif. Seperti digunakan untuk menentukan senyawa dalam suatu campuran yang tidak diketahui. Untuk analisis kualitatif dilakukan dengan menginterpretasikan spektrum serapan IR, sehingga dapat diketahui ikatan kimia dalam suatu molekul. Spektrum FTIR dari senyawa organik lebih rumit dan detail jika dibandingkan dengan senyawa anorganik. Untuk senyawa umum, spektrum yang tidak diketahui bisa diidentifikasi dengan membandingkan dengan referensi spektrum senyawa yang telah diketahui. Sedangkan untuk analisis kuantitatif dilakukan dengan melihat kekuatan serapan yang sebanding dengan konsentrasi senyawa yang di analisis (Suseno, 2008: 34).

Komponen FTIR terdiri dari lima bagian pokok yaitu sumber sinar, interferometer, tempat sampel, detektor dan komputer. Sumber sinar dihasilkan dari pemanasan suhu tinggi kisaran 1500°K dan 2000°K . Sinar akan masuk ke interferogram dan terjadi proses *spectral encoding* yang menghasilkan sinyal interferogram. Sinyal yang keluar dari interferometer akan diserap sampel, kemudian sinar akan masuk ke detektor untuk pengukuran akhir sinyal interferogram. Sinyal interferogram yang diukur kemudian dikirim ke komputer dimana proses *Fourier Transform* berlangsung (Rod, 2001). Proses ini dilakukan berulang-ulang kali. Setelah itu, komputer akan mengambil alih data dan bekerja untuk memperkirakan serapan pada tiap panjang gelombang (**Gambar 2.4**).



Gambar 2.4 Skema Sederhana dari FTIR Spektrofotometer (Road, 2001)

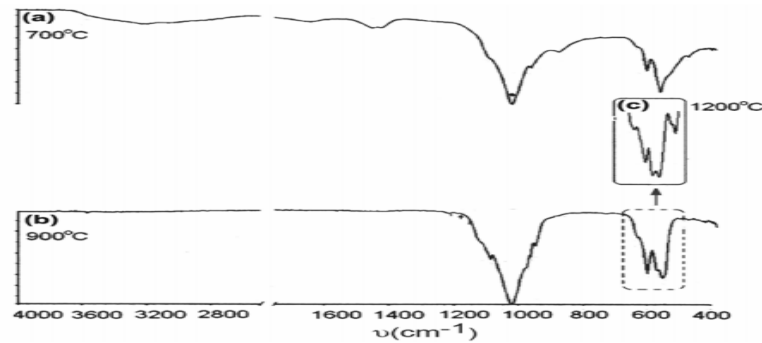
Tabel 2.3 Gugus Fungsi dan Daerah Serapan Hidroksiapatit (Arrafiqie, 2016: 4-5).

Jenis Ion	Daerah Serapan (cm ⁻¹)
PO ₄ ³⁻	1156-560
OH	3800-3000
CO ₃ ²⁻	2359-1386
HPO ₄ ²⁻	875

Arrafiqie (2016) dalam penelitian mengambil kesimpulan dari analisis FTIR menunjukkan bahwa semakin meningkatnya waktu reaksi, puncak PO₄ yang diperoleh semakin tajam dan puncak CO₃ semakin tumpul. Ia juga menyatakan bahwa suhu berbanding terbalik terhadap waktu. Apabila digunakan kondisi operasi suhu rendah maka waktu yang digunakan harus lebih tinggi.

Asep Sofwan Faturhman Alqap dan Iis Sopyan (2009) dalam penelitiannya melakukan variasi suhu kalsinasi 700°C, 900°C dan 1200°C. Dari hasil analisa FTIR yang diperoleh menunjukkan bahwa suhu kalsinasi yang optimum untuk metode hidrotermal

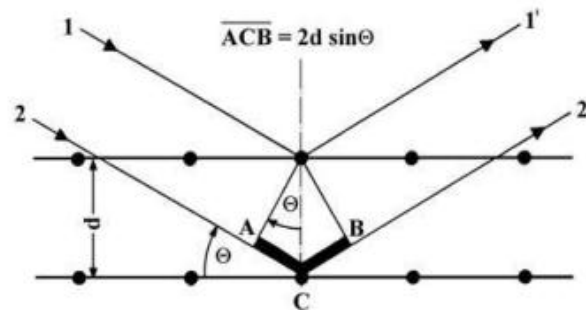
pada penelitian tersebut adalah suhu 900°C. Ini diperoleh dari data spektrum dan gambar pitanya (**Gambar 2.5**),



Gambar 2.5 Hasil FTIR dengan Variasi Suhu 700°C, 900°C dan 1200°C dengan Metode Hidrotermal (Asep Sofwan Faturrohman Alqap dan Iis Sopyan, 2009)

H. *X-ray Diffractometer (XRD)*

Difraksi ditemukan oleh Wilhelm Röntgen (1845-1923) pada tahun 1895, dalam eksperimennya, beliau menganggap bahwa sinar x itu adalah gelombang elektromagnetik dengan panjang gelombang sebesar 10 μm . Dalam waktu yang sama, muncul ide baru yang mengatakan bahwa dalam sebuah benda padat kristal, atom-atom tersusun dalam sebuah pola yang seragam dan teratur. Dengan menggabungkan kedua pemikiran ini, Max Von Laue (1879-1960) pada tahun 1912 menarik kesimpulan bahwa sebuah kristal yang dilewatkan dengan sinar-x dapat berdifraksi membentuk tiga dimensi (Young dan Freedman, 2003: 631-632).



Gambar 2.6 Model Difraksi Hukum Bragg (Suryadi, 2011: 27).

Bragg menyatakan bahwa ketika sebuah berkas sinar-X yang datang dengan sudut sempit θ , terjadi hamburan disebabkan oleh atom C. jika jarak $AC + CB = n\lambda$, dimana n adalah integer, radiasi yang terhamburkan adalah fase $1'$ dan $2'$. Melalui perhitungan trigonometri diketahui bahwa panjang $AC = d \sin \theta$, dengan d adalah jarak antar bidang (Suryadi, 2011: 27).

Prinsip dasar sinar-X berdasarkan hukum Bragg adalah ketika foton-foton sinar-x menumbukkan atom-atom, maka sebagian atom dari berkas sinar datang tersebut akan dihamburkan menjauh dari arah berkas sinar mula-mula. Gelombang-gelombang sinar-x akan terhambur oleh elektron-elektron dan berinterferensi dengan yang lain. Interferensi inilah yang akan memberikan pola-pola difraksi, posisi puncak-puncak difraksi dan tinggi intensitas (Supardi, 2015: 23).

Setiap atom dalam kristal yang dilewatkan dengan sinar-x akan memantulkan berkas ke segala arah. Karena setiap Kristal yang terkecil pun mengandung atom dalam jumlah besar, yang memungkinkan bahwa gelombang radiasi yang dipantulkan itu akan

berada dalam fase yang sama. (Satiadarma, 2004: 131). Sinar-X sendiri merupakan bentuk dari radiasi elektromagnetik dengan panjang gelombang antara 0,01 hingga 1 nm. Panjang gelombang sinar-x berada dalam skala atomik, sehingga difraksi sinar-x ini bisa digunakan untuk menentukan bentuk struktur nanomaterial (Supardi, 2015: 23).

X-ray diffractometer (XRD) menggunakan prinsip difraksi untuk mengetahui fase kristalin pada material padat, struktur kristal, derajat kristalinitas, parameter kisi, serta kualitas suatu bahan, serta dapat mengetahui jenis unsur dan senyawa yang terkandung dalam material secara kualitatif (Menik, 2010). Bagian-bagian kristalin ditunjukkan oleh puncak-puncak difraksi yang sempit dan tajam, sedangkan bagian *amorfus* akan menampilkan puncak yang sangat lebar.

Secara kualitatif, daerah kristalin hidroksiapatit dapat dilihat pada tingginya intensitas dan lebar puncak pada pola difraksi. Semakin tinggi intensitas puncak dan semakin sempit puncak maka semakin tinggi kristalinitas hidroksiapatit (Ningsih, 2014: 26).

Sedangkan secara kuantitatif berdasarkan dari hasil data XRD kita dapat mengetahui ukuran kristalit suatu produk hidroksiapatit. Perhitungan besar kristalit dilakukan dengan menggunakan Persamaan Scherrer,

$$\tau = \frac{k\lambda}{\beta \cos\theta}$$

Dimana l adalah ukuran kristalit, β adalah pelebaran setengah intensitas maksimum (FWHM) dalam radian, k adalah konstanta Scherrer bernilai 0.98, λ adalah panjang gelombang sinar-X dari radiasi $\text{CuK}\alpha$ yakni 1,54056 nm, dan θ adalah sudut Bragg (Suryadi, 2011: 44).

Menurut Menik (2010), beberapa kegunaan dari difraksi sinar X adalah :

1. Mendapatkan informasi, komposisi dan keadaan material polikristalin
2. Dapat mengidentifikasi suatu material yang belum diketahui berdasarkan puncak-puncak kristalin
3. Dapat menentukan ukuran kristalin, derajat kristalin dan konstanta kisi kristalografi secara cepat
4. Dapat digunakan untuk mempelajari keadaan mikrokristalin dan padatan amorf, dilengkapi dengan analisis komputer yang hasilnya dapat digunakan untuk mempelajari penataan atom-atom dalam padatan non kristal.

BAB III

METODE PENELITIAN

A. Waktu dan Tempat

Penelitian ini Alhamdulillah telah dilaksanakan pada bulan Juli – Oktober 2016 di laboratorium Kimia Analitik Universitas Islam Negeri (UIN) Alauddin Makassar, laboratorium Kimia Organik Universitas Hasanuddin (UNHAS), dan laboratorium XRF dan XRD Science Building Universitas Hasanuddin (UNHAS).

B. Alat dan Bahan

1. Alat Penelitian

Alat yang digunakan dalam penelitian ini adalah Erlenmeyer 250 mL, gelas kimia 300 mL, gelas kimia 250 mL, gelas ukur 50 mL, corong, labu takar 1000 mL, batang pengaduk, spatula, pipet tetes, magnetik stirrer, oven, termometer 110° C, neraca analitik, deksikator, *autoclave* GEA, *furnace Heraeus*, statif dan klem, mortal dan lumpang, cawan krus dan tutupnya, seperangkat alat FTIR Shimadzu IR-Prestige 21, seperangkat alat XRF ARL QUANT'X EDXRF *Analyzer* dan seperangkat alat XRD Shimadzu XRD-7000 *X-Ray Difraction*.

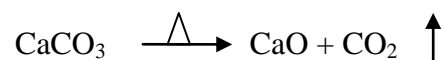
2. Bahan Penelitian

Bahan yang digunakan dalam penelitian ini adalah limbah tulang ikan tuna sirip kuning (*Thunnus albacores*), aseton (C_3H_6O) 98%, amonium dihidrogen fosfat ($NH_4H_2PO_4$), ammonium dihidrogen fosfat ($NH_4H_2PO_4$) 0,547 M, kertas saring whatman No. 42, dan aquades.

C. Prosedur Penelitian

1. Preparasi Sampel

Limbah tulang ikan dipotong menjadi bagian yang lebih kecil lalu direbus didalam air mendidih selama 30 menit. Tulang ikan yang telah direbus dicuci hingga bersih menggunakan air mengalir kemudian dilanjutkan dengan aquades lalu dikeringkan dibawah sinar matahari langsung. Kemudian tulang ikan tersebut direndam dengan larutan aseton selama 3 X 24 jam dengan larutan aseton yang berbeda tiap harinya, dan dilanjutkan dengan mengeringkan tulang ikan pada suhu kamar hingga aseton benar-benar menguap (Juraida, dkk 2011) tulang ikan kemudian di oven selama 30 menit menggunakan suhu $115^{\circ}C$ selanjutnya dikalsinasi ke dalam tanur pada suhu $1000^{\circ}C$ selama 5 jam.

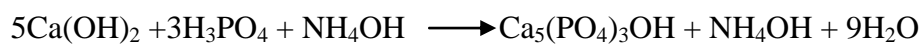


(P.Hui, dkk, 2010: 685).

Setelah dikalsinasi tulang ikan kemudian digerus menggunakan mortal dan lumpang hingga menjadi parikel yang lebih kecil dan untuk menyeragamkan ukuran partikel kemudian di ayak dengan menggunakan ayakan berukuran 125 mesh.

2. Sintesis Hidroksiapatit

Tahap sintesis Hidroksiapatit mengacu pada prosedur Asep Sofwan Faturohman Alqap (2009) yang dimodifikasi dengan prosedur R. AJ. Mahardhika Safanti Prabanintyas (2015). Serbuk CaO ditimbang sebanyak 5,117 gram kemudian dilarutkan dengan 100 mL aquades dalam Erlenmeyer 250 mL. Campuran tersebut kemudian ditambahkan larutan ammonium dihidrogen fosfat ($\text{NH}_4\text{H}_2\text{PO}_4$) 100 mL dengan konsentrasi 0,547 M yang telah dibuat sebelumnya (**Lampiran 4**). Larutan campuran kemudian dihomogenkan dengan menggunakan magnetik stirrer dengan kecepatan 300 rpm dengan suhu 90°C selama 1 jam. Setelah dimagnetik stirrer larutan kemudian disterilisasi dengan menggunakan *autoclave* selama 2 jam dengan suhu 121°C dan tekanan 1 atm, proses ini dinamakan proses hidrotermal. Setelah melalui proses sterilisasi larutan kemudian disaring dengan menggunakan kertas saring whatman No. 42 lalu endapan yang terdapat didalam kertas saring dicuci dengan menggunakan aquades sebanyak 3 kali untuk menghilangkan sisa-sisa ammonium nya.



Endapan yang diperoleh kemudian dimasukkan ke dalam cawan krus yang telah diketahui bobot kosongnya. Endapan dipanaskan pada suhu 105°C selama 30 menit untuk

menghilangkan sisa airnya, setelah dipanaskan dilanjutkan untuk proses kalsinasi dengan menggunakan *furnace* pada suhu 900°C selama 5 jam. Mengulang prosedur yang sama untuk 4 sampel lain dengan lama waktu pengadukan (2 jam, 3 jam, 4 jam, dan 5 jam) dan hitung rendemen yang diperoleh setelah proses sintesis dengan menggunakan rumus berikut,

$$\text{Rendamen} = \frac{\text{bobot akhir sampel}}{\text{bobot awal sampel}} \times 100\%$$

3. Analisis dengan X-Ray Fluorescence (XRF)

Menyalakan alat dan monitor, pada saat dinyalakan muncul tampilan display pada monitor untuk langkah pengoperasian alat XRF, melakukan kalibrasi terlebih dahulu. Selanjutnya ketika XRF dioperasikan spinner sampel holder dengan holder (tempat sampel) yang berukuran 3 cm yang berjumlah 10 lubang pada satu piringan akan bergerak menuju posisi holder satu dan berhenti secara otomatis pada tampilan display digital DX-95 akan menunjukkan angka yang sama. Kondisi pengukuran pada tegangan 14 kV dan kuat arus 90 μA setiap pengukuran memerlukan waktu 5 menit.

4. Analisis dengan Fourier Transform Infra Red (FTIR)

Disiapkan sampel berupa kristal/powder hidroksiapatit, ditumbuk hingga memenuhi ukuran partikel kurang dari 2 μm , kemudian dimasukkan ke dalam pelet press secara merata. Pellet press dihubungkan ke pompa kompresi *hydraulic* dengan kekuatan 100 ton (kg newton) serta pompa vakum selama 15 menit. Diusahakan pellet yang terbentuk mempunyai ketebalan 0,3 mm (transparan), selanjutnya dibuka pellet secara hati-hati dan

dipindahkan ke dalam sel holder menggunakan spatula. Setelah itu diatur alat Spektrofotometer Infra Red dengan kecepatan kertas pada posisi “normal” dan ekspansi transmisi “100 x”. Dicek skala kertas melalui pembuatan spektrum dari *filmpolystiren*. Apabila skala kertas sudah tepat, dengan cara yang sama dibuat spektrum Infra Merah dari sampel yang sudah disiapkan, kemudian tentukan dan analisa gugus-gugus fungsinya.

5. Identifikasi Hidroksiapatit Menggunakan *X-Ray Diffraction* (XRD)

Melakukan kalibrasi alat dan mengatur *XG control* berupa arus, *water flow*, *shutter*, dan *door open*. Kemudian sambil menunggu kalibrasi alat, sebanyak 2 mg sampel ditempatkan di dalam *holder* yang berukuran $(2 \times 2) \text{ cm}^2$ pada difraktometer. Tegangan yang digunakan adalah 40 kV dan arus generatornya sebesar 30 mA dengan sumber $\text{CuK}\alpha$ ($\lambda = 1,5405 \text{ \AA}$). Hasilnya berupa grafik fase yang teridentifikasi berdasarkan intensitas dan sudut 2θ yang terbentuk. Penentuan fase yang muncul mengacu pada *Joint Committee on Powder Diffraction Standart* (JCPDS).

BAB IV

HASIL PENELITIAN DAN PEMBAHASAN

A. Hasil Penelitian

Sintesis hidroksiapatit dapat dilakukan dengan menggunakan metode hidrotermal dengan bahan dasar tulang ikan tuna sirip kuning (*Thunnus albacore*) sebagai sumber kalsium dan ammonium dihidrogen fosfat ($\text{NH}_4\text{H}_2\text{PO}_4$) sebagai prekursor fosfat.

Tabel 4.1 Komposisi Kimia Serbuk Tulang Ikan Tuna Sirip Kuning (*Thunnus albacores*) Setelah Kalsinasi dengan Menggunakan XRF

Komponen	Kandungan (% Berat)
CaO	62,31
P ₂ O ₅	37,46
SrO	0,186
Nb ₂ O ₅	0.0162
MoO ₃	0.0098
Sb ₂ O ₃	0,0061
In ₂ O ₃	0,0061
SnO ₂	0,0059

Rendamen serbuk hidroksiapatit tulang ikan tuna (*Thunnus albacore*) merupakan bobot relatif serbuk tulang ikan setelah proses sintesis terhadap bobot serbuk tulang ikan sebelum dilakukan proses sintesis.

Tabel 4.2 Rendamen Hasil Sintesis Tulang Ikan Tuna (*Thunnus albacores*) dari Variasi Waktu Pengadukan

Variasi Waktu Pengadukan (Jam)	Rendamen (% Berat)
1	92.8960
2	94.4732
3	96.4156
4	94.6652
5	94.5187

Untuk mengetahui jenis ion dari serbuk hidroksiapatit yang dihasilkan dapat dilakukan analisis dengan *Fourier Transform Infrared* (FTIR) hasil yang diperoleh dapat dilihat pada **Tabel 4.3**

Tabel 4.3 Data Hasil Analisis Menggunakan FTIR

Jenis Ion	Bilangan Gelombang (cm ⁻¹)				
	1 Jam	2 Jam	3 Jam	4 Jam	5 Jam
Karbonat (CO ₃ ²⁻)	2360,87	2360,87	2358,94	2358,94	2360,87
	1992,47	1460,11	1456,26	1460,11	1460,11
Fosfat (PO ₄ ³⁻)	1043,49	1043,49	1043,49	1041,56	1043,49
	601,79	603,72	603,72	603,72	603,72
	570,93	569,00	569,00	567,07	567,07
Hidroksil (OH ⁻)	3568,31	3588,31	3566,38	3568,31	3568,31
		3543,23			

Berdasarkan dari hasil Analisa data *X-Ray Diffraction* (XRD) dapat diperoleh data kuantitatif yang menunjukkan struktur dan bentuk kristal **Tabel 4.4** dan ukuran kristalit pada **Tabel 4.5**

Tabel 4.4 Data Hasil Kuantitatif yang Menunjukkan Struktur dan Bentuk Kristal

Hasil Analisa	Lama Waktu Pengadukan (Jam)				
	1	2	3	4	5
Bentuk Kristal	Hexagonal	Hexagonal	Hexagonal	Hexagonal	Hexagonal
Parameter Kisi	a = 9,4655 Å c = 6,9068 Å	a = 9,4240 Å c = 6,8790 Å	a = 9,4343 Å c = 6,8681 Å	a = 9,3430 Å c = 6,8227 Å	a = 9,4343 Å c = 6,8681 Å

Tabel 4.5 Ukuran Kristalit

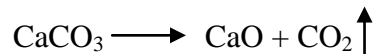
Waktu Pegadukan (Jam)	Ukuran Kristalit (nm)
1	100,7379
2	41,9753
3	44,5532
4	71,061
5	70,8862

B. Pembahasan

1. Preparasi Sampel

Pada penelitian ini bahan yang bertindak sebagai prekursor fosfat adalah ($\text{NH}_4\text{H}_2\text{PO}_4$), dan prekursor kalsium (Ca) adalah limbah tulang ikan tuna sirip kuning (*Thunnus albacores*). Tulang ikan tuna dibersihkan dengan air mengalir kemudian direbus di dalam air mendidih pada suhu 100°C selama 30 menit. Setelah proses perebusan, tulang kemudian dibersihkan kembali dari sisa daging yang masih melekat dengan menggunakan air mengalir lalu dilanjutkan dengan aquades, tulang ikan yang sudah bersih kemudian dikeringkan dibawah sinar matahari langsung untuk mengurangi kandungan air.

Setelah dikeringkan, tulang ikan kemudian direndam dengan menggunakan larutan aseton, proses ini bertujuan untuk menghilangkan sisa-sisa kolagen, lemak dan kotorannya lainnya. Dan dilanjutkan dengan mengeringkan tulang ikan pada suhu ruang untuk menghilangkan sisa aseton dalam tulang ikan. Sebelum di kalsinasi tulang ikan terlebih dahulu dioven menggunakan suhu 115°C selama 30 menit untuk membuka pori-pori dari permukaan tulang ikan sehingga lebih mudah pada saat proses kalsinasi berlangsung di dalam tanur. Proses kalsinasi berlangsung selama 5 jam dengan menggunakan suhu 900°C . Dalam penelitian ini kalsinasi diartikan sebagai proses dekomposisi atau perombakan kalsium karbonat (CaCO_3) yang terdapat dalam tulang ikan tuna menjadi kalsium oksida (CaO) dan karbon dioksida (CO_2), karena ikatan Ca dengan satu atom oksigen lebih kuat dan tidak bisa terurai dengan pemanasan biasa (suhu $< 1200^\circ\text{C}$).



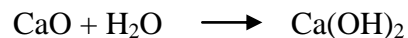
Merujuk pada penelitian Jayachandran (2010) yang menyatakan bahwa suhu kalsinasi berpengaruh terhadap rendemen yang dihasilkan serta kristalinitas dari hidroksiapatit yang diperoleh. Dalam penelitiannya diperoleh hasil bahwa suhu optimum untuk sintesis senyawa Hidroksiapatit adalah 900°C dalam waktu 5 jam.

Selama proses kalsinasi, terjadi penyusutan massa dan perubahan warna yang disebabkan adanya pelepasan unsur pengisi yang terdapat dalam tulang ikan dan adanya perubahan komposisi unsur pada saat proses kalsinasi berlangsung. Ini ditandai dengan perubahan warna tulang ikan yang awalnya agak kuning, menjadi lebih putih.

Setelah proses kalsinasi, tulang ikan kemudian digerus dengan menggunakan lumpang dan mortal kemudian diayak dengan ukuran 125 mesh. Serbuk CaO yang dihasilkan kemudian dianalisis dengan menggunakan XRF. Berdasarkan hasil analisis XRF pada **Tabel 4.1**, diperoleh kadar kalsium oksida (CaO) hasil kalsinasi sebesar 62,31% .

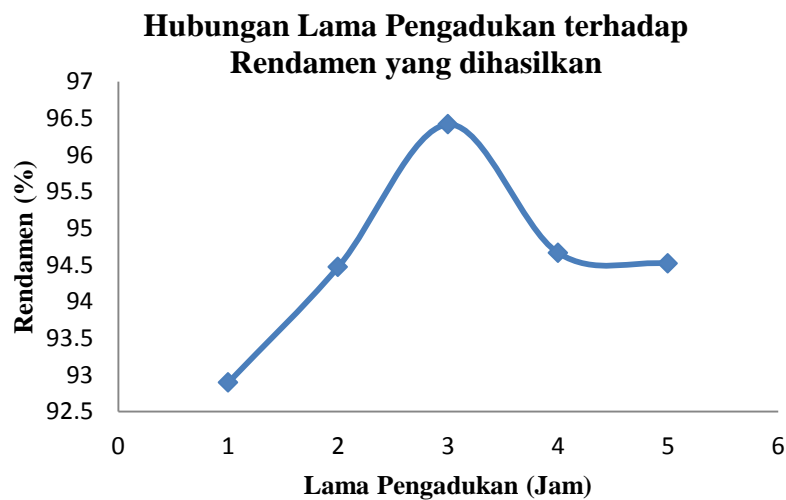
2. Sintesis Hidroksiapatit

CaO yang terbentuk dari hasil kalsinasi kemudian ditimbang ±5,1169 gram dan dilarutkan dengan aquades sebanyak 100 mL hingga terbentuk senyawa kalsium hidroksida,



Ca(OH)₂ yang terbentuk tidak larut sempurna namun akan membentuk suspensi yaitu larutan yang terpisah dengan zat padatnya, kemudian ditambahkan 100 mL larutan ammonium dihidrogen fosfat (NH₄H₂PO₄) dengan konsentrasi 0,547 M untuk membentuk larutan stoikiometrik terhadap rasio konsentrasi Ca/P 1,67 M. Kemurnian produk

hidroksiapatit yang dihasilkan bergantung dari rasio konsentrasi antara Ca/P. Iis Sopian (2002) dalam penelitiannya menyatakan, munculnya senyawa lain diakibatkan dari ketidaksesuaian secara stoikiometri dari prekursor. Penelitian ini dilakukan dengan bervariasi lama waktu pengadukan (1 jam, 2 jam, 3 jam, 4 jam dan 5 jam) dan pengaruhnya terhadap rendamen yang dihasilkan setelah proses sintesis berlangsung. Rendamen yang dihasilkan yang dapat dilihat pada **Tabel 4.2**. Adapun hubungan antara lama waktu pengadukan terhadap rendemen yang dihasilkan dapat dilihat pada **Gambar 4.1**.



Gambar 4.1 Grafik Hubungan antara Lama Waktu Pengadukan Terhadap Rendamen Hasil Sintesis

Berdasarkan grafik di atas dapat disimpulkan bahwa terjadi kenaikan kadar persentase (rendamen) pada waktu pengadukan 1 sampai dengan 3 jam. Namun berbeda pada waktu pengadukan 4 jam terjadi penurunan kadar persentase menjadi 94,6652%, demikian pula pada waktu pengadukan 5 jam kadar persentase menjadi 94,5187%. Dengan

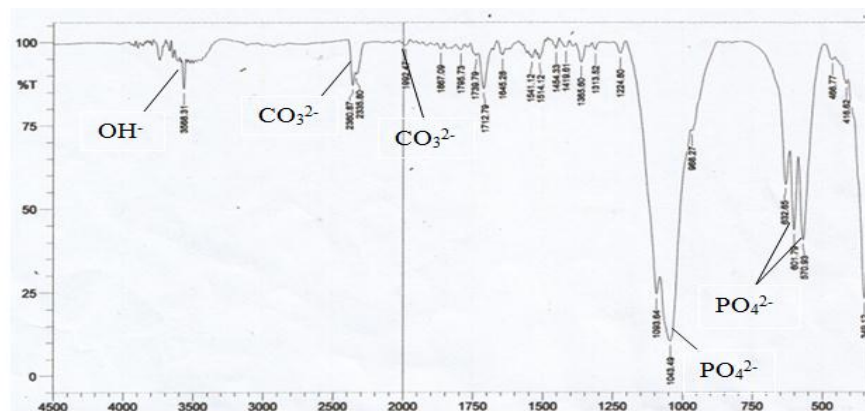
hasil tersebut dapat disimpulkan bahwa ada batas waktu pengadukan yang dibutuhkan agar prekursor kalsium dan fosfat tepat habis bereaksi. Namun berbeda pada waktu 3 jam yang memiliki nilai kadar persentase (rendamen) tertinggi yaitu sebesar 96,4156 %, ini disebabkan karena tidak sesuainya lama waktu reaksi yang tersedia sehingga membuat fasa-fasa tidak homogen dan tidak bereaksi secara keseluruhan. Adapun waktu optimum yang diperlukan untuk menghasilkan rendamen terbanyak adalah pada waktu 3 jam.

Setelah dilakukan pengadukan, sampel kemudian dimasukkan ke dalam autoklaf selama 2 jam menggunakan suhu 121°C dan tekanan 1 atm, proses ini dinamakan proses hidrotermal. Proses ini merupakan proses sterilisasi yang memanfaatkan reaksi fase tunggal dengan suhu di atas suhu ruang ($T > 25^{\circ}\text{C}$) dan tekanan ($P > 100$ kPa) pada sistem tertutup (Yoshimura, 2008). Selama proses ini berlangsung senyawa ataupun unsur yang tidak dapat dihancurkan pada pemanasan tinggi akan dihancurkan selama proses hidrotermal berlangsung dengan bantuan uap panas dan tekanan pada sistem tertutup, seperti Indium (In) dan Timah (Sn).

Sampel kemudian disaring lalu dilanjutkan untuk dikalsinasi kembali dengan suhu 900°C selama 5 jam. Setelah dikalsinasi sampel siap untuk di karakterisasi dengan menggunakan FTIR dan XRD.

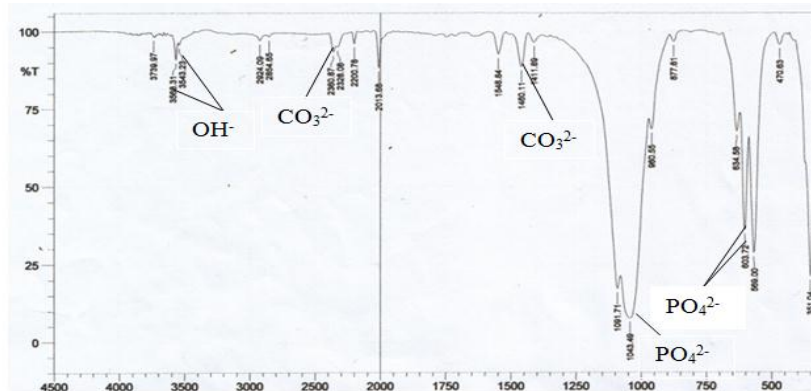
3. Analisis *Fourier Transform Infrared* (FTIR)

Analisis dengan FTIR bertujuan untuk mengetahui jenis ion atau gugus fungsi dan jenis ikatan serta derajat kristalinitas dari kristal hidroksiapatit yang diperoleh. Spektrum yang dihasilkan oleh FTIR berupa pita-pita serapan pada bilangan gelombang (cm^{-1}) tertentu. Bilangan gelombang yang dihasilkan dari 5 variasi sampel dapat dilihat pada **Tabel 4.3**.



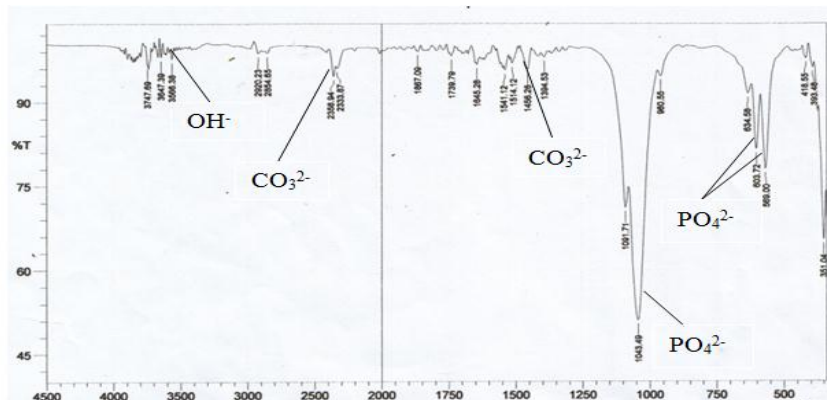
Gambar 4.2 Hasil spektrum FTIR dengan Lama Pengadukan 1 jam

Berdasarkan hasil spektrum **Gambar 4.2** terlihat pada bilangan gelombang 2360,87 cm^{-1} dan 1992,47 cm^{-1} terdapat ion karbonat (CO_3^{2-}) dengan intensitas yang rendah. Pada bilangan gelombang 1043,49 cm^{-1} , 601,79 cm^{-1} dan 570,93 cm^{-1} terdapat ion fosfat (PO_4^{2-}). Sedangkan ion hidroksil (OH^-) terdapat pada bilangan gelombang 3568,31 cm^{-1} . Mohd Fazlur Arrafiqie (2016) dalam penelitiannya ion karbonat muncul pada bilangan gelombang 1386 cm^{-1} , 1417 cm^{-1} , 1635 cm^{-1} , 1997 cm^{-1} dan 2359 cm^{-1} .



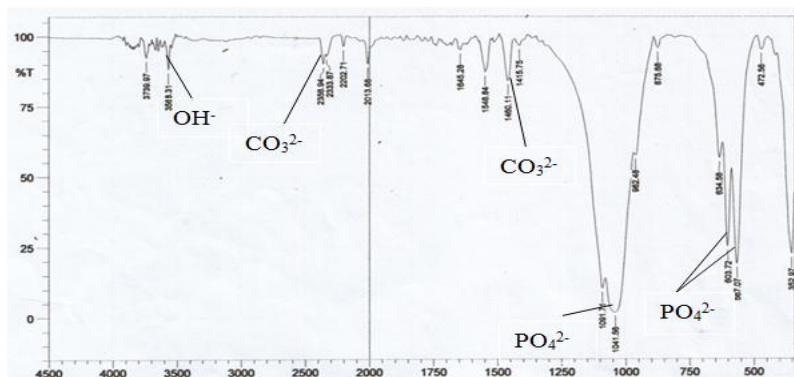
Gambar 4.3 Hasil spektrum FTIR dengan Lama Pengadukan 2 jam

Berdasarkan hasil spektrum **Gambar 4.3** terlihat pada bilangan gelombang $2360,87 \text{ cm}^{-1}$ dan $1460,11 \text{ cm}^{-1}$ terdapat ion karbonat (CO_3^{2-}) dengan intensitas yang rendah. Pada bilangan gelombang $1043,49 \text{ cm}^{-1}$, $603,72 \text{ cm}^{-1}$ dan $569,00 \text{ cm}^{-1}$ terdapat ion fosfat (PO_4^{2-}). Pada bilangan $3588,31 \text{ cm}^{-1}$ dan $3543,23 \text{ cm}^{-1}$ terdapat ion hidroksil (OH^-) dengan intensitas rendah.



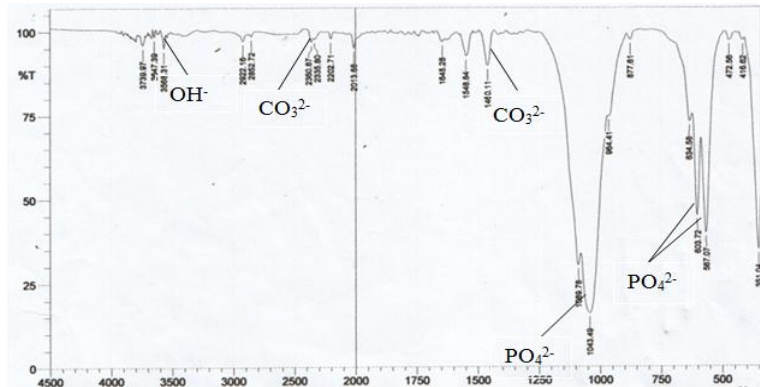
Gambar 4.4 Hasil spektrum FTIR dengan Lama Pengadukan 3 jam

Berdasarkan hasil spektrum **Gambar 4.4** terlihat pada bilangan gelombang 2358,94 cm^{-1} dan 1456,26 cm^{-1} terdapat ion karbonat (CO_3^{2-}) dengan intensitas yang rendah. Pada bilangan gelombang 1043,49 cm^{-1} , 603,72 cm^{-1} dan 569,00 cm^{-1} terdapat ion fosfat (PO_4^{2-}). Sedangkan ion hidroksil (OH^-) muncul pada bilangan 3566,38 cm^{-1} dengan intensitas rendah.



Gambar 4.5 Hasil spektrum FTIR dengan Lama Pengadukan 4 jam

Berdasarkan hasil spektrum **Gambar 4.5** terlihat pada bilangan gelombang 2358,94 cm^{-1} dan 1460,11 cm^{-1} terdapat ion karbonat (CO_3^{2-}) dengan intensitas yang rendah. Pada bilangan gelombang 1041,56 cm^{-1} , 603,72 cm^{-1} dan 567,07 cm^{-1} terdapat ion fosfat (PO_4^{2-}). Pada bilangan 3568,31 cm^{-1} terdapat ion hidroksil (OH^-).



Gambar 4.6 Hasil spektrum FTIR dengan Lama Pengadukan 5 jam

Berdasarkan hasil spektrum **Gambar 4.6** terlihat pada bilangan gelombang 2360,87 cm^{-1} dan 1460,11 cm^{-1} terdapat ion karbonat (CO_3^{2-}) dengan intensitas yang rendah. Pada bilangan gelombang 1043,49 cm^{-1} , 603,72 cm^{-1} dan 567,07 cm^{-1} terdapat ion fosfat (PO_4^{2-}). Pada bilangan 3568,31 cm^{-1} terdapat ion hidroksil (OH^-).

Hasil analisis FTIR terlihat bahwa setiap kristal hidroksiapatit dengan variasi waktu pengadukan (1 jam, 2 jam, 3 jam, 4 jam dan 5 jam) memiliki vibrasi dan bilangan gelombang yang hampir sama. Seperti pada pita serapan ion Fosfat (PO_4^{3-}) yang memiliki vibrasi antisimetri bending (ν_4).

Menurut Mulyaningsih (2007), ion fosfat dapat ditemukan pada Hidroksiapatit dalam 4 mode vibrasi, yaitu:

1. Vibrasi *stretching* (ν_1), dengan bilangan gelombang $\pm 956 \text{ cm}^{-1}$
2. Vibrasi *bending* (ν_2), dengan bilangan gelombang $\pm 363 \text{ cm}^{-1}$
3. Vibrasi *antisimetri stretching* (ν_3), dengan bilangan gelombang 1030-1090 cm^{-1}

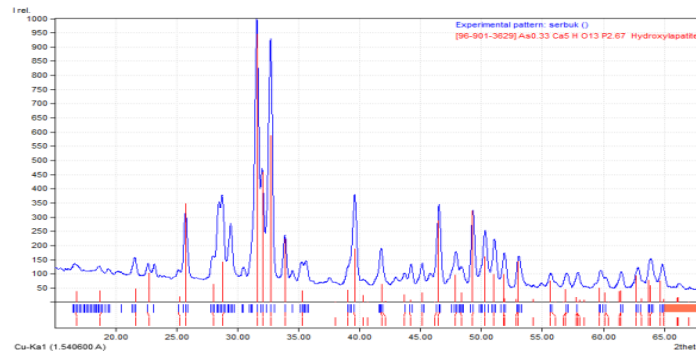
4. Vibrasi *antisimetri bending* (ν_4), dengan bilangan gelombang 562-603 cm^{-1} dalam bentuk pita belah dan merupakan pita terkuat

Derajat kristalinitas Hidroksiapatit ditandai oleh pita ν_4 . Kadar belah pita absorpsi fosfat ν_4 menunjukkan kandungan fase kristal (derajat kristalinitas) hidroksiapatit dalam sampel yang dipengaruhi oleh intensitas ion karbonat (CO_3^{2-}). Semakin tinggi intensitas ion karbonat dalam sampel hidroksiapatit maka pita absorpsi fosfat ν_4 akan berbentuk kontinu atau pita yang terbentuk melebar ke bawah dengan intensitas yang tinggi dan semakin rendah intensitas ion karbonat maka pita absorpsi fosfat ν_4 akan berbentuk belah dan sampel bersifat kristalin (Soejoko, dkk, 2002). Berdasarkan dari kelima spektrum tersebut juga terdapat ion hidroksil (OH^-) yang muncul dengan intensitas rendah. Menurut Soejoko (2002), ion hidroksil (OH^-) muncul sekitar bilangan 3500-3700 cm^{-1} dengan intensitas rendah, yang berarti terdapat sedikit kandungan air (H_2O) sehingga menandakan bahwa sampel benar-benar kering.

Namun jika dibandingkan dari hasil analisis FTIR antara kelima sampel terlihat bahwa sampel dengan lama pengadukan 2 jam memiliki hasil yang lebih murni dibandingkan dengan keempat sampel lainnya, dapat dilihat dari spektrum yang dihasilkan dari kelima sampel tersebut. Sampel dengan lama pengadukan 2 jam memiliki sedikit pita-pita serapan dengan intensitas rendah. Berbeda dengan keempat sampel lainnya yang memiliki cukup banyak pita-pita serapan dengan intensitas yang rendah namun dapat berpengaruh terhadap sifat kristalinitas produk yang dihasilkan.

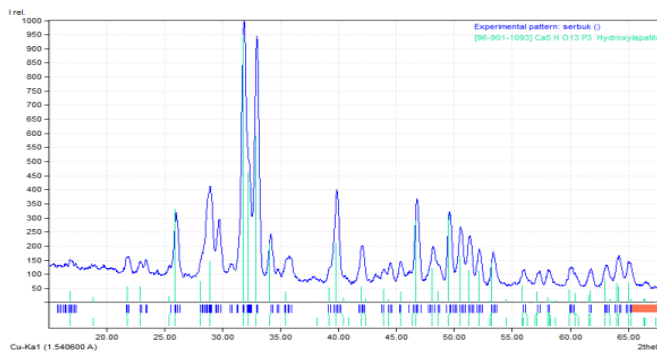
4. Analisis X-Ray Diffraction (XRD)

Berdasarkan dari hasil analisa XRD di peroleh hasil difraktogram pada gambar berikut untuk setiap variasi waktu.



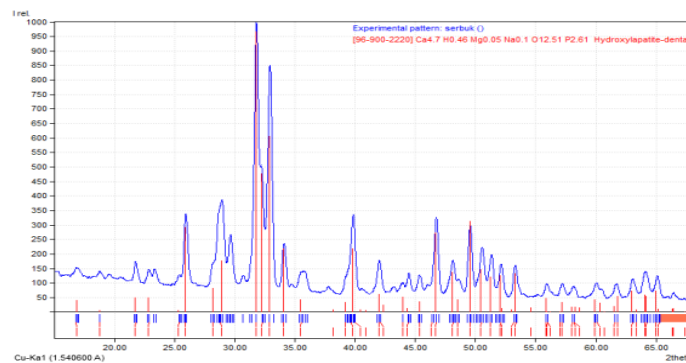
Gambar 4.7 Difraktogram Hasil XRD dengan Lama Pengadukan 1 jam

Pada **Gambar 4.7** menunjukkan bahwa terdapat 3 puncak tertinggi pada sudut 31,6665; 32,7829 dan 32,1000, berdasarkan *database Joint Committee on Powder Diffraction Standard (JCPDS) 96-901-3629* menandakan bahwa senyawa yang terbentuk adalah hidroksiapatit dengan bentuk formula $\text{Ca}_5(\text{PO}_4)_3\text{OH}$ dan bentuk kristal hexagonal dengan parameter kisi $a=9,4655 \text{ \AA}$, $c=6,9068 \text{ \AA}$.



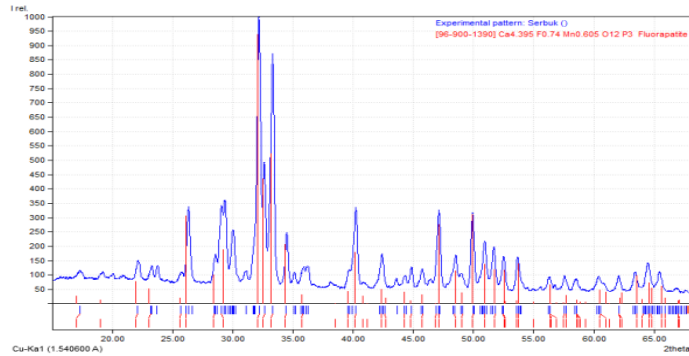
Gambar 4.8 Difraktogram Hasil XRD dengan Lama Pengadukan 2 jam

Pada **Gambar 4.8** menunjukkan bahwa terdapat 3 puncak tertinggi pada sudut 31,7802; 32,8324 dan 39,7244 berdasarkan hasil data JCPDS 96-901-1093 menandakan bahwa senyawa yang terbentuk adalah hidroksiapatit dengan bentuk formula $\text{Ca}_5(\text{PO}_4)_3\text{OH}$ dan bentuk kristal hexagonal dengan parameter kisi $a=9,4240 \text{ \AA}$, $c=6,8790 \text{ \AA}$.



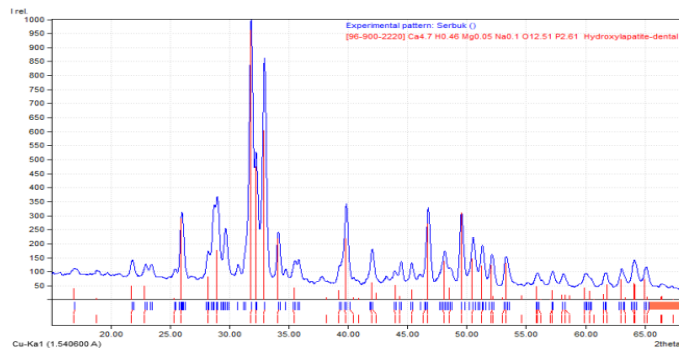
Gambar 4.9 Difraktogram Hasil XRD dengan Lama Pengadukan 3 jam

Pada **Gambar 4.9** menunjukkan bahwa terdapat 3 puncak tertinggi pada sudut 31,7104; 32,8090 dan 39,1000 berdasarkan hasil data JCPDS 96-901-1093 menandakan bahwa senyawa yang terbentuk adalah hidroksiapatit-dental dengan bentuk formula $\text{Ca}_4(\text{PO}_4)_2\text{OH.MgNa}$ dan bentuk kristal hexagonal dengan parameter kisi $a=9,4343 \text{ \AA}$, $c=6,8681 \text{ \AA}$. Adanya unsur penyusun Magnesium (Mg) dan Natrium (Na) disebabkan karena tidak sesuainya lama waktu pengadukan sehingga menyebabkan komponen penyusun yang terdapat dalam serbuk CaO yang tidak terbaca oleh alat XRF ikut bereaksi pada saat proses sintesis berlangsung. Seperti pernyataan Riyanto (2013) yang mengatakan bahwa pada tulang ikan tuna terdapat unsur Magnesium (Mg) dan Natrium (Na) dengan kadar persentase 0,5% dan 0,8%.



Gambar 4.10 Difraktogram Hasil XRD dengan Lama Pengadukan 4 jam

Pada **Gambar 4.10** menunjukkan bahwa terdapat 3 puncak tertinggi pada sudut 32,0191; 33,1402 dan 32,4600 berdasarkan hasil data JCPDS 96-900-1390 menandakan bahwa senyawa yang terbentuk adalah fluoroapatit dengan bentuk formula $\text{Ca}_4(\text{PO}_4)_3\text{F}$ dimana gugus hidroksil diganti dengan unsur Flour (F) yang terdapat dalam komponen penyusun serbuk CaO yang tidak terbaca oleh XRF. Seperti pernyataan Riyanto (2013) yang mengatakan bahwa pada tulang ikan tuna terdapat unsur Flour (F) dengan kadar persentase 0,08%. Bentuk kristal yang dihasilkan senyawa ini adalah hexagonal dengan parameter kisi $a = 9,4343 \text{ \AA}$, $c = 6,8681 \text{ \AA}$.



Gambar 4.11 Difraktogram Hasil Analisa XRD dengan Lama Pengadukan 5 jam

Pada **Gambar 4.11** menunjukkan bahwa terdapat 3 puncak tertinggi pada sudut 31,8208; 32,9293 dan 32,2400 berdasarkan hasil data JCPDS 96-901-1093 menandakan bahwa senyawa yang terbentuk adalah hidroksiapatit-dental dengan bentuk formula $\text{Ca}_4(\text{PO}_4)_2\text{OH.MgNa}$ dan bentuk kristal hexagonal dengan parameter kisi $a= 9,4343\text{\AA}$, $c=6,8681\text{\AA}$. Adanya unsur penyusun Magnesium (Mg) dan Natrium (Na) disebabkan karena tidak sesuainya lama waktu pengadukan sehingga menyebabkan komponen penyusun yang terdapat dalam serbuk CaO yang tidak terbaca oleh alat XRF ikut bereaksi pada saat proses sintesis berlangsung.

Berdasarkan dari hasil data difraktogram XRD yang diperoleh dari kelima variasi waktu pengadukan, terdapat perbedaan senyawa yang dihasilkan ini disebabkan karena tidak homogenya prekursor yang terdapat dalam sampel untuk bereaksi pada waktu yang tersedia. Sehingga dapat disimpulkan bahwa lama waktu pengadukan berpengaruh terhadap senyawa ataupun produk hidroksiapatit yang dihasilkan. Dari data XRD juga dapat diketahui ukuran kristalit dari setiap senyawa yang terbentuk, ini dapat dianalisis dengan menggunakan persamaan Schereer,

$$\tau = \frac{k\lambda}{\beta \cos\theta}$$

Sehingga diperoleh data pada **Tabel 4.3**. Berdasarkan data tersebut pengaruh lama pengadukan terhadap ukuran kristal terjadi perubahan yang tajam dan fluktuasi. Jika dikaitkan dengan data FTIR yang menyatakan bahwa sampel yang memiliki tingkat kemurnian yang lebih baik jika dibandingkan dengan 4 sampel lainnya terjadi pada lama

waktu pengadukan 2 jam, ini juga didukung dengan ukuran kristalit yang diperoleh yaitu 41,9753 nm. Sesuai dalam penelitian yang dilakukan Suryadi (2011) bahwa kristalit dari hidroksiapatit terbentuk dengan rata-rata ukuran kristalnya berada pada rentang 15-50 nm.

Sehingga dapat disimpulkan bahwa banyaknya rendemen yang diperoleh ternyata tidak berpengaruh terhadap produk dan tingkat kristalinitas hidroksiapatit yang dihasilkan. Rendemen terbanyak diperoleh dengan lama waktu pengadukan 3 jam namun senyawa yang dihasilkan bukanlah hidroksiapatit murni melainkan hidroksiapatit dental dengan bentuk formula $\text{Ca}_4(\text{PO}_4)_2\text{OH}\cdot\text{MgNa}$. Jika dikaitkan dengan hasil FTIR ternyata masih terdapat banyak pengotor, dan untuk hasil data XRD diperoleh ukuran kristalit yaitu 44,5532 nm.

BAB V

PENUTUP

A. Kesimpulan

Kesimpulan dari hasil penelitian ini adalah:

1. Rendeman yang dihasilkan dari sintesis hidroksiapatit dengan variasi waktu pengadukan (1 jam, 2 jam, 3 jam, 4 jam dan 5 jam) optimum pada waktu 3 jam dengan nilai rendemen tertinggi yaitu 96,4156%.
2. Berdasarkan dari hasil spektrum yang dihasilkan dapat disimpulkan ion karbonat (CO_3^{2-}) muncul pada bilangan gelombang 1400-2400 cm^{-1} , ion fosfat (PO_4^{3-}) muncul pada bilangan gelombang 500-1050 cm^{-1} dan ion hidroksil (OH^-) muncul pada bilangan gelombang 3500 cm^{-1} .
3. Berdasarkan dari data XRD diperoleh ukuran kristalin untuk setiap variasi waktu pengadukan (1 jam, 2 jam, 3 jam, 4 jam dan 5 jam) berturut-turut adalah 100,7379 nm, 41,9753 nm, 44,5532 nm, 71,061 nm dan 70,8862 nm dengan bentuk struktur hexagonal.

B. Saran

Saran untuk penelitian tentang sintesis hidroksiapatit dari tulang ikan dengan metode hidrotermal selanjutnya, yaitu:

1. Perlu dilakukan pengaplikasian secara langsung dalam bidang medis dan perawatan seperti pembuatan *bone graft*.
2. Perlu dilakukan uji lebih lanjut seperti SEM untuk mengetahui bentuk morfologi produk hidroksiapatit yang dihasilkan.

DAFTAR PUSTAKA

Al-Qur'an Al-Karim.

Abdullah bin Muhammad bin Abdurahman bin Ishaq Al-Sheikh. *Laubaabut Tafsir Min Ibni Katsiir*, terj. Ghoffar, M. Abdul. *Tafsir Ibnu Katsir Jilid 1*. Jakarta:Pustaka Imam asy-Syafi'I, 1994.

Achmadi, Suminar. *Jendela IPTEK*. Jakarta: PT Balai Pustaka, 2000.

Aisyah, Dara, dkk. Program Pemanfaatan Sisa Tulang Ikan Untuk Produk Hidroksiapatit: Kajian Di Pabrik Pngolahan Kerupuk Lekor Kuala Trengganu-Malaysia. *Jurnal Sositoteknologi Edisi 26 tahun* (Agustus 2012). h. 129-141.

Alqap, Sofwan Faturohman dan Iis Sopyan. Low Temperature Hydrothermal Synthesis of Calcium Phosphate Ceramics: Effect of excess Ca precursor on phase behavior. *Indian Journal of Chemistry Vol. 48A* (Novemver 2009). h. 142-1500.

Almasier, Sunita. *Prinsip Dasar Ilmu Gizi*. Jakarta: PT Gramedia Pustaka Utama, 2001.

Arrafiqie, Mohd Fazhlur, dkk. Sintesis Hidroksiapatit dari Limbah Kulit Kerang Lokan (*Geloinaexpansa*) dengan Metode Hidrothermal.*JOM FTEKNIK Vol. 3 No. 1* (Februari 2016). h. 1-8.

Bahar, Burhan. *Panduan Praktis memilih dan Menangani Produk Perikanan*. Jakarta: PT Gramedia Pustaka Utama, 2006.

Chadijah, Sitti. *Dasar-dasar Kimia Analitik*. Makassar: Alauddin University Press, 2012.

Chang, R.W.,Hansen., dan Kranker, E.J., *Materials Science and Technology (Comprehensive Treatment)*. Pennsylvania: Wiley, 1992.

[DKP] Departemen Kelautan dan Perikanan. 2000. *Laporan Tahunan Produksi Ikan Indonesia*. Jakarta.

Eko Budi Kuncoro dan F.E Ardi Wiharto, *Ensiklopedia Populer Ikan Air Laut*.Yogyakarta : Lily Publisher, 2009.

Fitriawan, Margi, dkk. Sintesis Hidroksiapatit Berbahan Dasar Tulang Sapi Dengan Metode Pretipitasi Sebagai Kandidat Pengganti Graft. *Prosiding SNMF* (2014). h. 1-5.

Fried, George H dan George J. Hademenos. *Schaum's Outlines of Theory and Problems of Biology.*, terj. Damaring Tyas. *Biologi*. Jakarta: Erlangga, 2006.

Ghufran H. Kordi K. *A to Z Budi Daya Akuatik untuk Pangan, Kosmetik, dan Obat-obatan*. Yogyakarta: ANDI, 2010.

_____, *Buku Pintar Budi Daya 32 Ikan Laut Ekonomis*.Yogyakarta : Lily Publisher, 2011.

Horne, Mima M dan Pamela L. Swearingen. *Pocket Guide To Fluids, Electrolytes, And Acid-Base Balance.*, terj. Indah Nurmala Dewi dan Monika Ester. *Keseimbangan Cairan, Elektrolit, Dan Asam-Basa*. Jakarta: EGC, 2000.

- Houtkooper, Linda dan Vanessa A. Farrell. *Calcium Supplement Guidelines*, dalam Arizona Cooperative Extension Az 1043, Januari 2011.
- Hui, P, dkk. Synthesis of Hydroxyapatite Bio-Ceramic Powder by Hydrothermal Method. *Journal of minerals and materials characterization & engineering*, Vol. 9, No. 8, (2010). h. 683-692.
- Jarcho M, dkk. Tissue, Cellular And Subcellular Events At A Bone Ceramic Hydroxyapatite Interface. *Journal Biosci Bioeng* (1977).h. 79-92.
- Jegatheesan. FTIR, XRD, SEM, TGA Investigations of Ammonium Dihydrogen Fosfat (ADP) Kristal Tunggal. *International pf application computer (0975-8887)*. Vol 53-No. 4 (September 2012). hal. 15-17.
- Kano S, dkk. Application Of Hydroxyapatite-Sol As Drug Carrier. *Journal [Bio-Medical Materials and Engineering](#)*, Vol. 4, No. 4, (1994). h. 283-290.
- Kementerian Agama RI. *Al-Qur'an dan Terjemahannya Special For Woman*. Bandung: PT. Sygma Examedi Arkanleema, 2012.
- Khoirudin, Mukhlis dkk. Sintesis dan Karakterisasi Hidroksiapatit (HAp) Dari Kulit Kerang Darah (*Anadara Granosa*) Dengan Proses Hidrotermal. *JOM FTEKNIK* Vol. 2. No. 2, (Oktober 2015), h. 1-8.
- Khopkar, S.M. *Konsep Dasar Kimia Analitik*. Jakarta: UI-PRESS, 2010.
- Lestari, Fatma. *Bahaya Kimia: Sampling Dan Pengukuran Kontaminan Kimia Di Udara*. Jakarta: EGC, 2009.
- Liu, Dean Mo, dkk. Water Based Sol-Gel Synthesis Of Hydroxyapatite: Process Development. *Biomaterials* Vol 22 (2001), h. 1721-1730.
- Makfoeld, djarir. *Kamus Istilah Pangan Dan Nutrisi*. Yogyakarta: kanisius, 2002.
- Manafi, Saheb Ali dan Sedigheh Jougehhdoust. Synthesis of Hydroxyapatite Nanostructure By Hydrothermal Condition For Biomedical Application, *Iranian Journal of Pharmaceutical Sciences* Vol 5, No. 2. (2009). h. 89-94.
- Menik, S. Karakterisasi Cangkang Kerang Menggunakan XRD & X-Ray Physic Basic Unit. *Jurnal Neutrino*. Vol. 3 (1). (2010), h. 32-34.
- Mondal, Sudip, dkk. Studies On Processing And Characterization Of Hydroxyapatite Biomaterials From Different Bio Wastes. *Journal of minerals and materials characterization & engineering*, vol. 11, No. 1, 2012, h. 55-67.
- Muhara, Ikhbal., dkk. Sintesis Hidroksiapatit dari Kulit Kerang Darah dengan Metode Hidrotermal Suhu Rendah. *Jom FTEKNIK* Vol. 2 No. 1 (Februari 2015). h.1-5.
- Mulyaningsih NN. 2007. Karakteristik Hidroksiapatit Sintetik dan Alami pada Suhu 1400°C [Skripsi]. Bogor (ID): IPB Pr.
- Nabil, M. 2005. *Pemanfaatan Limbah Tulang Ikan tuna (Thunus sp.) Sebagai Sumber Kalsium Dengan Metode Hidrolisis Protein*. [Skripsi]. Fakultas Perikanan dan Ilmu Kelautan, Institut Pertanian Bogor.

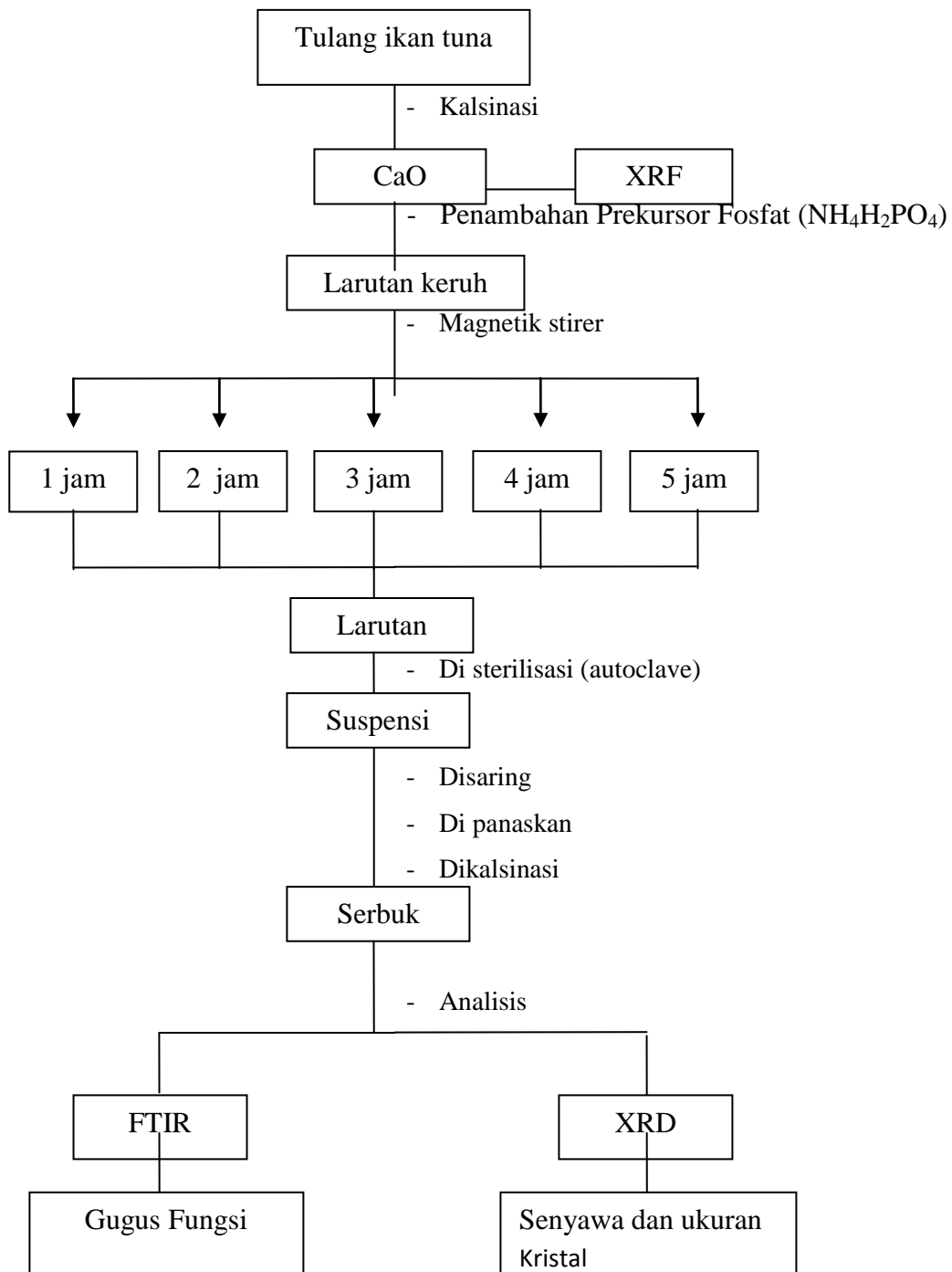
- Nasution, D.A. 2006. *Fabrikasi serta studi sifat Mekanis dan Fisis Biokeramik Hidroksiapatit (HAp) dari kalsit Gunung Kidul*. Tesis S-2. Yogyakarta : Sekolah Pasca Sarjana UGM.
- Nayak, Amit Kumar. Hydroxyapatite Synthesis Methodologies: An Overview. *International Journal Of Chemtech Reasearch*, Vol.2, No. 2 (April-Juni 2010). h. 903-907.
- Ningsih, Riri Purwo, dkk. Sintesis Hidroksiapatit dari Cangkang Kerang Kepah (*Polymesoda erosa*) dengan variasi waktu pengadukan. *JKK Vol. 3 No. 1 ISSN 2303-1077* (2014). h. 22-26.
- Nurilmala, M., Wahyuni, M., dan Wiratmaja, H. Perbaikan Nilai Tambah Limbah Tulang Ikan Tuna (*Thunnus Sp*) Menjadi Gelatin Serta Analisis Fisika-Kimia. *Buletin Teknologi Hasil Perikanan. Alumni Program Studi Teknologi Hasil Perikanan, FPIK, IPB. Vol IX Nomor 2* (2006). h. 22-33.
- Prabakara, K., T.V. Thamaraiselvi dan S. Rajeswari. Electrochemical Evaluation Of Hydroxyapatite Reinforced Phosphoric Acid Treated 316l Stainless Steel. *Trends biometer organs*, Vol. 19 No. 2, (2006). h. 84-87.
- Prabaningtyas, R.Aj. Mahardhika Safanti. 2015. *Karakterisasi Hidroksiapatit dari Kalsit (PT.DWI SELO GIRI MAS SIDOARJO) sebagai Bone Graft Sintesis Menggunakan X-Ray Diffractometer (XRD) dan Fourier Transform Infra Red (FTIR)* [Skripsi]. Fakultas Kedokteran Gigi, Universitas Jember.
- Puspitarini, M. 2011. *Baru, Keripik dari Tulang Ikan* (online), <http://kampus.okezone.com/read/2011/11/10/373/527442/baru-keripik-dari-tulang-ikan>. Diakses : 20 Agustus 2016.
- Reichert, J dan Binner, J. An Evaluation Of Hydroxyapatite-Based Filters For Removal Of Heavy Metal Ions From Aqueous Solutions. *Journal Of Materials Science Vol. 31* (1996). h. 1231-1241.
- Riyanto, Bambang, dkk. Material Biokeramik Berbasis Hidroksiapatit Tulang Ikan Tuna. *JPHPI Vol. 16 No. 2* (2013). h. 119-132.
- Road, V. M. 2001. *Introduction to Fourier Transform Infrared Spectrometry*. USA : Thermo Nicolet. <http://mmrc.caltech.edu?FTIR/FTIRintro.pdf> [16 Oktober 2016].
- Saanin H. *Taksonomi dan Kunci Identifikasi Ikan*. Jilid I. Bandung: Bina Tjipta, 1968.
- Salaman S, Soundararajan S, Safina G. Hydroxyapatite As A Novel Reversible In Situ Adsorption Matrix For Enzyme Thermistor-Based FIA. *Journal Material and Science Vol 77 No 22*, (15 December 2008). h. 490–493.
- Sanaji, Miftah. *Seafood citarasa jawa tengah*. Jakarta: PT Gramedia Pustaka Utama. 2010.
- Shihab, M. Quraish. *Tafsir Al-Misbah: Pesan, Kesan Dan Keserasian Al-Qur'an*. Jakarta: Lentera Hati, 2002.
- Skoog, O.A. *Principles of Instrumental Analysis* Edisi 3. USA: Sounders Collage Publishing, 1985.

- Smallman dan Bishop. *Modern Physical Metallurgy And Materials Engineering.*, terj. Sriati Djaprie. *Metalurgi fisik modern dan rekayasa material*. Jakarta: erlangga, 2000.
- Sompie, Jily Gavriila. Analisis sumber daya perikanan dalam pembangunan daerah kota bitung. KRITIS, *Jurnal Studi Pembangunan Interdisiplin Vol. XXIII No. 1*, 2014: 44-63.
- Suchanek, Wojciech L dan Richard E. Riman. Hydrothermal Synthesisi Of Advanced Ceramic Powders. *Advances in Science and Technology Vol. 45* (2006). h. 184-193.
- Supardi. 2015. *Karakterisasi Polimer Main-Chain Liquid Crystal Elastomers (Mclces) Sebagai Kandidat Otot Tiruan Manusia*. [Disertasi Doctor]. Fakultas Matematika dan Ilmu Pengetahuan Alam Universitas Negeri Yogyakarta. (November 2015).
- Supratman, unang. *Elusidasi Struktur Senyawa Organik*. Bandung: FMIPA, Universitas Padjadjaran, 2006.
- Suryadi. 2011. *Sintesis dan Karakterisasi Biomaterial Hidroksiapatit dengan Proses Pengendapan Kimia Basah*. [Tesis], Fakultas Teknik Universitas Indonesia.
- Suseno, Jatmiko Endro dan K. Sofjan Firdausi. "Rancangan Bangun Spektroskopi FTIR untuk Penentuan Kualitas Susu Sapi", *Berkala Fisika ISSN: 1410-9662, Vol. 11, No. <http://11703018.pdf>*. h. 23-28 (Januari 2008).
- Svehla, G. *textbook Of Macro And Semimicro Qualitative Inorganik Analysis.*, terj. L. Setiono dan A. Hadyana Pudjaatmaka. *Buku Teks Analisis Anorganik Kualitatif Makro Dan Semimikro*. Jakarta: PT Kalman Media Pustaka, 1979.
- Syafrima, Wahyu, dkk. Sintesis Hidroksiapatit Melalui Precipitated Calcium Carbonate (PCC) Dari Cangkang Kerang Darah Dengan Metode Hidrotermal Pada Variasi Ph Dan Suhu Operasi. *JOM FTEKNIK, Vol. 2, No. 2*, 2015. h. 1-8.
- Tambayong, Jan. *Patofisiologi Untuk Keperawatan*. Jakarta: EGC, 2000.
- Umardani, Yusuf. Laboratorium penelitian dan pengujian terpadu UGM: X-Ray Fluoresence (XRF), April 2016. [Blog] Diakses 26 Oktober 2016
- Usman, Hanafi. "Teori Dan Aplikasi Instrument Dalam Pembelajaran Dan Penelitian" (FMIPA, Unhas, Makassar, 2003) Wahyu Meilani Sri. "Uji Bioaktivitas Zat Ekstraktif Kayu Suren (*Toona sureni* Merr.) dan Ki Bonteng (*Platae latifolia* BI.) Menggunakan *Brine Shrimp Lethality Test* (Bslt)". Skripsi Fakultas Kehutanan Institut Pertanian Bogor, 2006.
- Venkatesan, Jayachandran dan Se Kwon Kim. Effect of temperature on isolation and characterization of hydroxyapatite from tuna (*Thunnus obesus*) Bone. *Materials ISSN 1996-1944 Vol. 3* (2010). h. 4761-4772.
- Wardani, Novika Sri dan Ahmad Fadli Irdoni. Sintesis Hidroksiapatit Dari Cangkang Telur Dengan Metode Presipitasi. *JOM FTEKNIK Vol. 2 No. 1*, 2015. h. 1-6.
- Warastuti, Yessy dan Basril Abbas. Sintetis dan Karaterisasi Pasta *Injectable Bone Substitute* Iradiasi Berbasis Hidroksiapatit. *Jurnal ilmiah aplikasi isotop dan radiasi, Vol. 39, ISSN: 1907-0322* (September, 2011). h. 73-95.

- Wikipedia the Free Encyclopedia. <http://en.wikipedia.org/wiki/kalsiumoksida> (14 Agustus 2016).
- Yogiarti, Ni Luh Putu Rista, dkk. Analisis kadar fosfat air sungai di desabeng, gianyar dengan metode spektrofotometri UV-VIS. *Chemistry laboratory Vol. 1 No. 2* (Desember 2014). h. 160-168.
- Young, Hugd D DAN Roger A. Freedman. *University Physics Tenth Edition*. Terj. Pantur Silaban. *Fisika Universistas Edisi Kesepuluh*. Jakarta: Erlangga, 2003.
- Yoshimura, E. K. 2008. Hydrothermal Processing Of Materials : Post. Present And Future. *J mater Sci. Vol. 43:* (2008), h. 2013-2085.

Lampiran 1

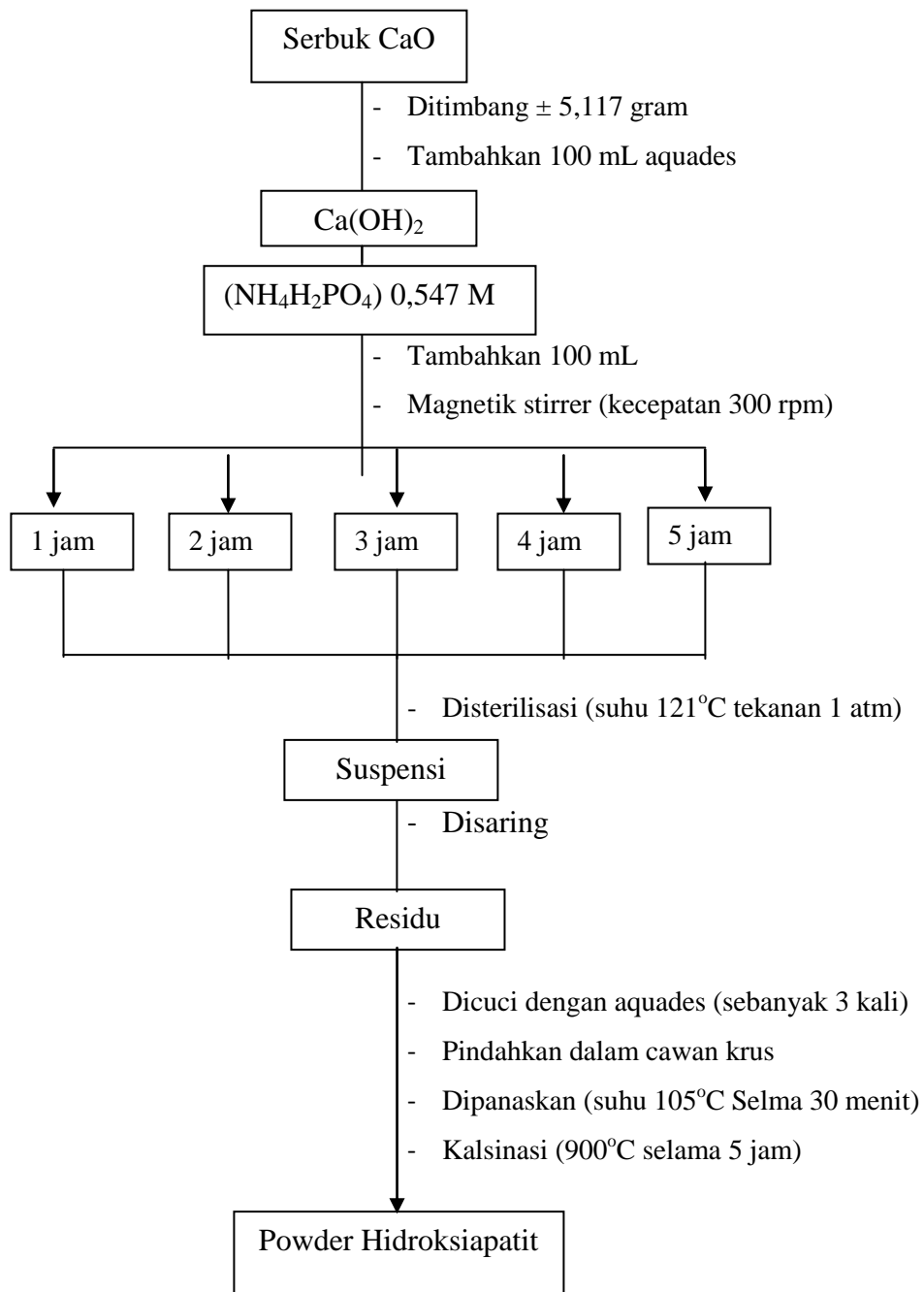
BAGAN PENELITIAN



Lampiran 2

DIAGRAM ALIR PROSEDUR KERJA

1. Sintesis Hidroksiapatit



Lampiran 3

LAMPIRAN PERHITUNGAN

1. Pembuatan Larutan $\text{NH}_4\text{H}_2\text{PO}_4$ 0,547 M

$$M = \frac{gr}{Mr} \frac{1000}{V}$$
$$\text{gram} = M \times Mr \times \frac{V}{1000}$$
$$\text{gram} = 0,54796 \times 116,03389 \times \frac{1000}{1000}$$
$$\text{gram} = 63,5819$$

2. Perhitungan Rendamen

Waktu (Jam)	a (gram)	b (gram)	c (gram)	Bobot awal sampel (gram)
1	44,5073	39,7539	4,7534	5,1169
2	50,4734	45,6393	4,8341	5,1169
3	50,6063	45,6730	4,9333	5,1167
4	50,4941	45,6497	4,8444	5,1174
5	46,8743	42,0376	4,8367	5,1174

Bobot awal sampel = 5,1169 gram
Bobot kosong cawan porselin = 39,7539 gram (b)
Bobot cawan porselin + sampel setelah kalsinasi = 44,5073 gram (a)
Bobot sampel setelah kalsinasi (c) = a-b
= 44,5073 – 39,7539 gram
= 4,7534 gram

$$\text{Rendamen} = \frac{\text{bobot akhir sampel}}{\text{bobot awal sampel}} \times 100\%$$

$$\text{Rendamen} = \frac{4,7534 \text{ gram}}{5,1169 \text{ gram}} \times 100\%$$

$$\text{Rendamen} = 92,8960 \%$$

3. Perhitungan Ukuran Kristal

Waktu (Jam)	FWHM _{instrumen}	FWHM _{standar}	(FWHM _{instrumen}) ²	(FWHM _{standar}) ²	θ
1	0,3252	0,2800	0,1057	0,0784	31,6665
	0,3421	0,2800	0,1170	0,0784	32,7829
	0,3284	0,2800	0,1078	0,0784	32,1000
2	0,5861	0,2400	0,3435	0,0576	31,7802
	0,4632	0,2400	0,2145	0,0576	32,8324
	0,4792	0,2400	0,2296	0,0576	39,7244
3	0,4219	0,3200	0,1779	0,1024	31,7104
	0,4053	0,3200	0,1642	0,1024	32,8090
	0,5010	0,3200	0,2510	0,1024	32,1000
4	0,3282	0,2800	0,1077	0,0784	32,0191
	0,3360	0,2800	0,1128	0,0784	33,1402
	0,2968	0,2800	0,0880	0,0784	32,4600
5	0,3511	0,2400	0,1232	0,0576	31,8208
	0,3348	0,2400	0,1120	0,0576	32,9293
	0,3612	0,2400	0,1304	0,0576	32,2400

a. Lama Pengadukan 1 jam

$$\tau_1 = \frac{k \lambda}{\beta \cos \theta}$$

$$\tau_1 = \frac{0,98 \times 1,5406 \text{ \AA}}{0,1652 \cos 31,6665}$$

$$\beta^2 = \text{FWHM}_{\text{instrumen}}^2 - \text{FWHM}_{\text{standar}}^2$$

$$\beta^2 = (0,3252)^2 - (0,2800)^2$$

$$\beta^2 = 0,1057 - 0,0784$$

$$\beta^2 = 0,0273$$

$$\beta = \sqrt{0,0273}$$

$$\tau_1 = \frac{1,509788}{0,1652 \times 0,85111}$$

$$\tau_1 = \frac{0,509788}{0,140604}$$

$$\tau_1 = 10,7378 \times 10 \text{ nm}$$

$$\tau_1 = 107,378 \text{ nm}$$

$$\tau_2 = \frac{k \lambda}{\beta \cos \theta}$$

$$\tau_2 = \frac{0,98 \times 1,5406 \text{ \AA}}{0,1964 \cos 32,7829}$$

$$\tau_2 = \frac{1,509788}{0,1964 \times 0,8407}$$

$$\tau_2 = \frac{0,509788}{0,165117}$$

$$\tau_2 = 9,1437 \times 10 \text{ nm}$$

$$\tau_2 = 91,437 \text{ nm}$$

$$\beta^2 = \text{FWHM}_{\text{instrumen}}^2 - \text{FWHM}_{\text{standar}}^2$$

$$\beta^2 = (0,3421)^2 - (0,2800)^2$$

$$\beta^2 = 0,1170 - 0,0784$$

$$\beta^2 = 0,0386$$

$$\beta = \sqrt{0,0386}$$

$$\tau_3 = \frac{k \lambda}{\beta \cos \theta}$$

$$\tau_3 = \frac{0,98 \times 1,5406 \text{ \AA}}{0,1714 \cos 32,1000}$$

$$\tau_3 = \frac{1,509788}{0,1714 \times 0,8471}$$

$$\tau_3 = \frac{0,509788}{0,145192}$$

$$\beta^2 = \text{FWHM}_{\text{instrumen}}^2 - \text{FWHM}_{\text{standar}}^2$$

$$\beta^2 = (0,3284)^2 - (0,2800)^2$$

$$\beta^2 = 0,1078 - 0,0784$$

$$\beta^2 = 0,0294$$

$$\beta = \sqrt{0,0294}$$

$$\tau_3 = 10,3987 \times 10 \text{ nm}$$

$$\tau_3 = 103,987 \text{ nm}$$

Ukuran Kristalit Rata-rata:

$$= \frac{\tau_1 + \tau_2 + \tau_3}{3}$$

$$= \frac{107,378 + 91,437 + 103,3987 \text{ nm}}{3}$$

$$= 100,7379 \text{ nm}$$

Lampiran 4

DOKUMENTASI PENELITIAN

1. Preparasi Sampel



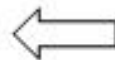
Tulang Ikan Tuna sirip Kuning



Perebusan



Perendaman Aseton



Dikeringkan



Penguapan Aseton



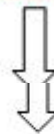
Di oven



Sebelum dikalsinasi dalam furnace



Setelah dikalsinasi



Di gerus



Di ayak



Analisis XRF

2. Sintesis Hidroksiapatit



Menimbang serbuk
CaO dan melarutkan
dalam 100 mL
aquades



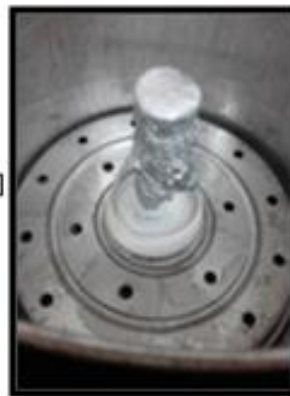
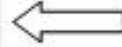
Menambahkan 100
mL $\text{NH}_4\text{H}_2\text{PO}_4$
0,547M



Suspensi



Lanutan jemih dan
terbentuk suspensi



Masukkan dalam
autoklaf



Magnetik stirer



Endapan dipindahkan dalam cawan krus yang telah diketahui bobot kosongnya



Endapan dicuci dengan aquades



Endapan disaring



Panaskan dalam oven



Kalsinasi dalam tanur



Timbang hasil sintesis yang diperoleh

RIWAYAT HIDUP



HARDIYANTI dilahirkan di Jakarta 19 Juni 1994 merupakan anak kedua dari 3 bersaudara dari pasangan suami istri Syarifuddin dan Indo Tang. Pendidikan formal yang telah dilalui yaitu menamatkan pendidikan sekolah dasarnya di SDN 24 Salemba Bulukumba pada Tahun 2003. Penulis melanjutkan jenjang pendidikannya di sekolah menengah pertama di SMPN 2 Bulukumba pada tahun 2003-2006. Kemudian menamatkan pendidikan Sekolah Menengah Atasnya di SMAN 1 Bulukumba pada tahun 2009. Pada tahun yang sama, penulis melanjutkan studi Sarjana-nya dengan jalur Undangan di Universitas Islam Negeri Alauddin Makassar tepatnya di Jurusan Kimia Fakultas Sains dan Teknologi. Pengalaman Organisasi penulis yaitu Himpunan Mahasiswa Islam (HmI) LK 1 Komisariat Syariah dan Hukum, serta aktif dalam organisasi Himpunan Mahasiswa Jurusan Kimia periode 2013-2014 dan periode 2014-2015. Pada tahun 2014 pernah menjadi asisten Praktikum Kimia Dasar I Jurusan Biologi, dan pada tahun 2016 pernah menjadi asisten praktikum Dasar-dasar Kimia Analitik dan pada saat yang sama juga menjadi asisten Kimia Dasar I untuk Jurusan Fisika.